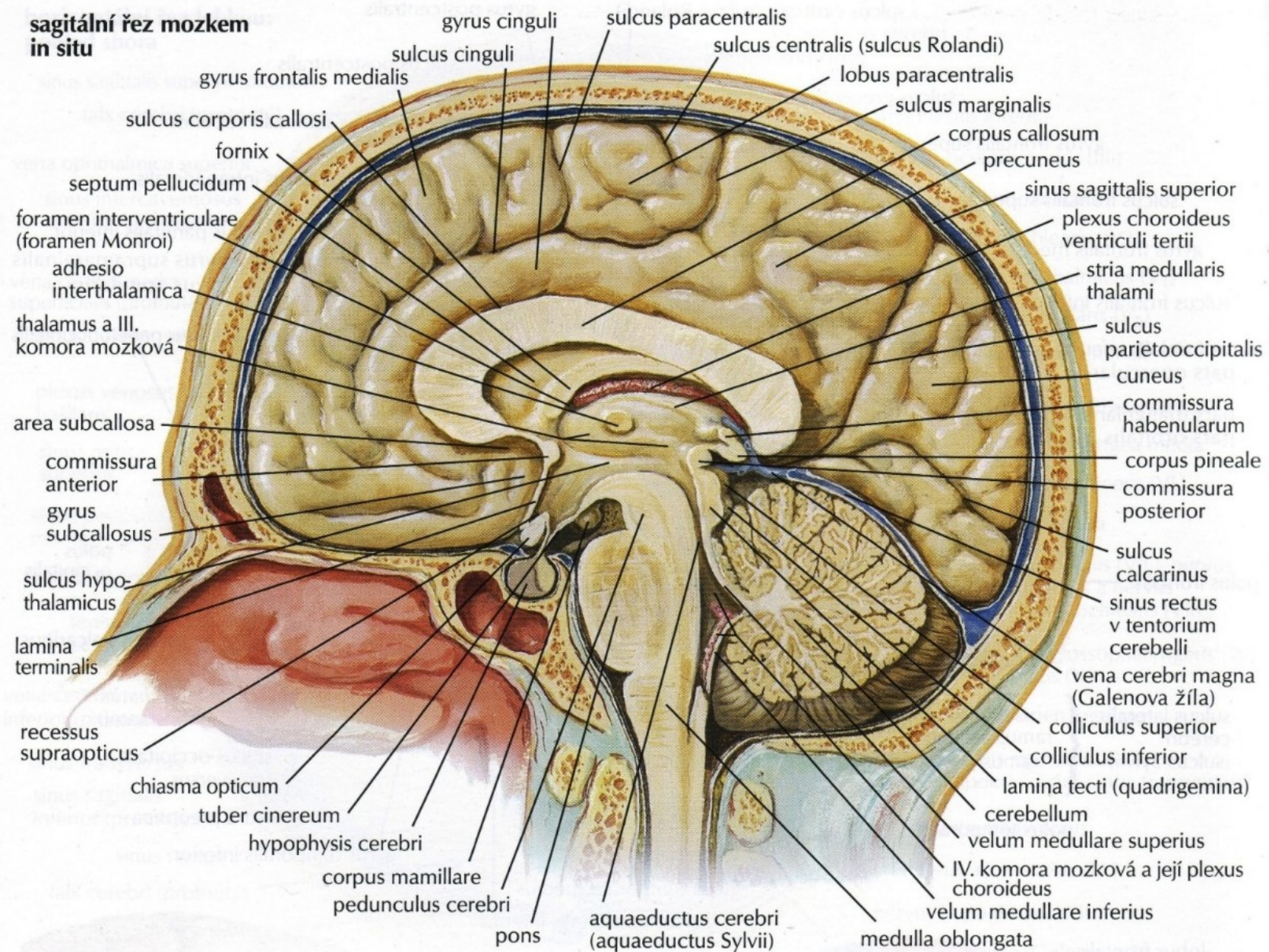


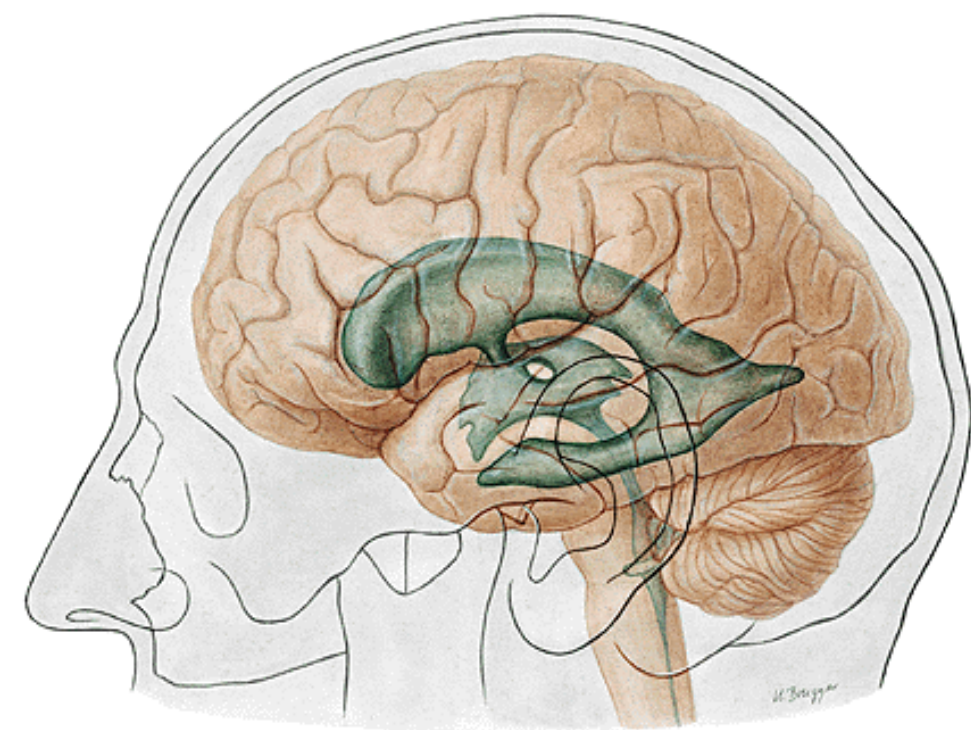
Chambers, meninges and blood supply of CNS



**sagitální řez mozkem
in situ**





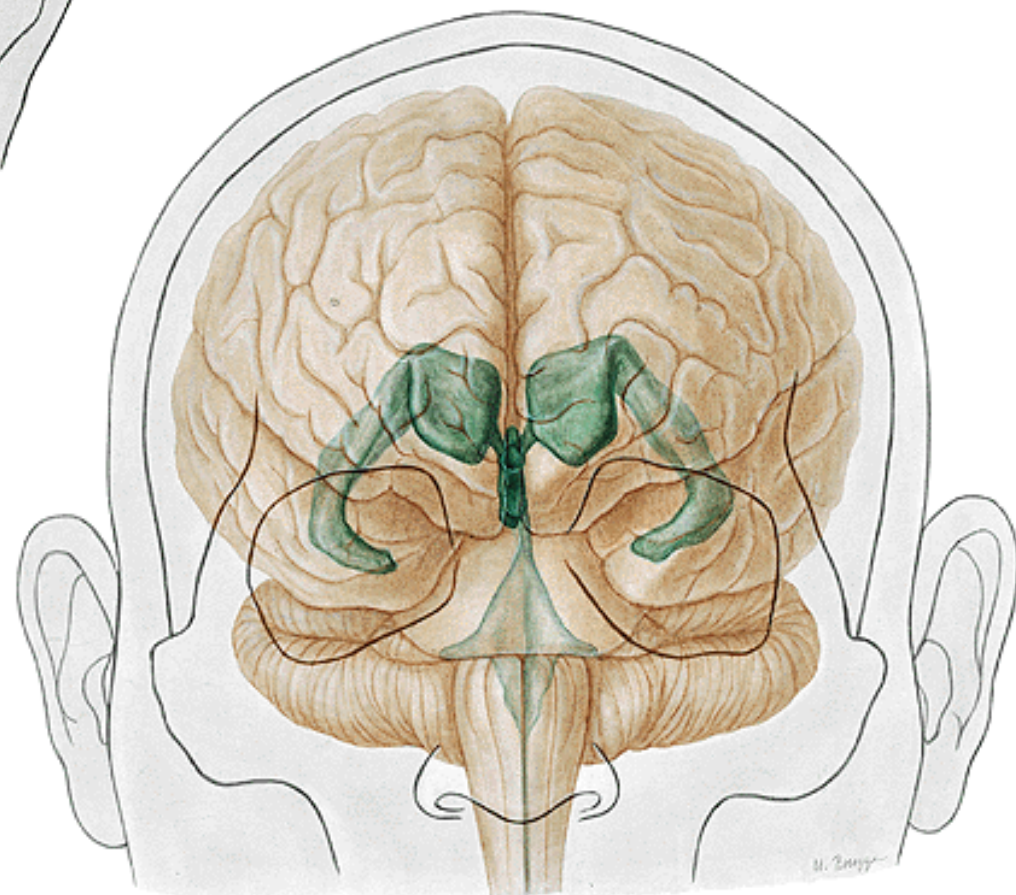


cornu frontale

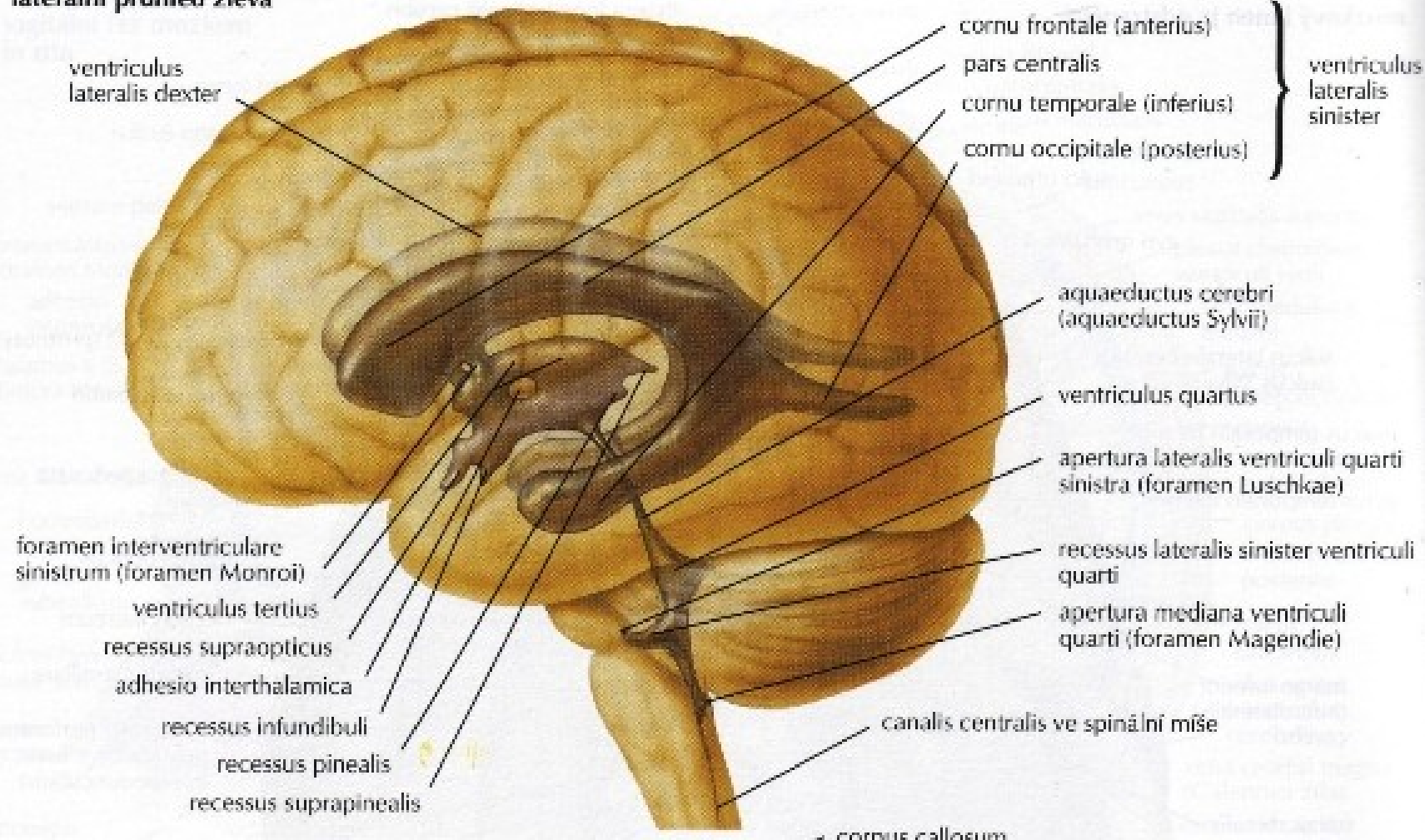
pars centralis

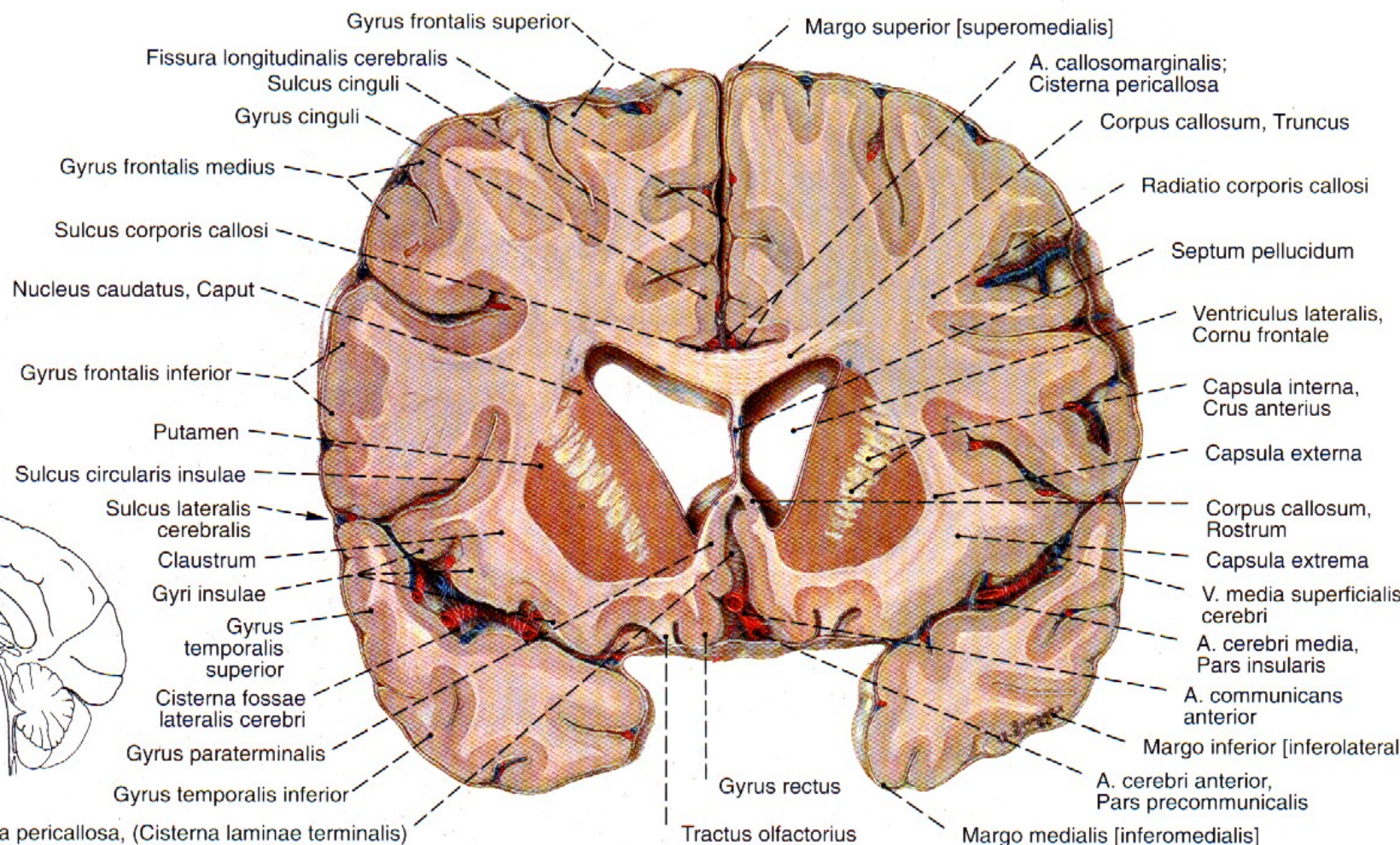
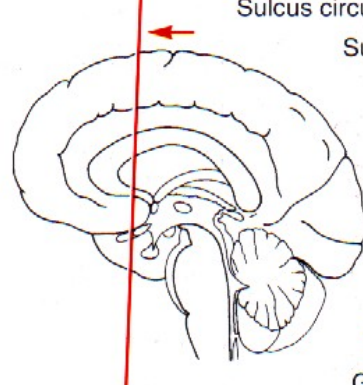
cornu occipitale

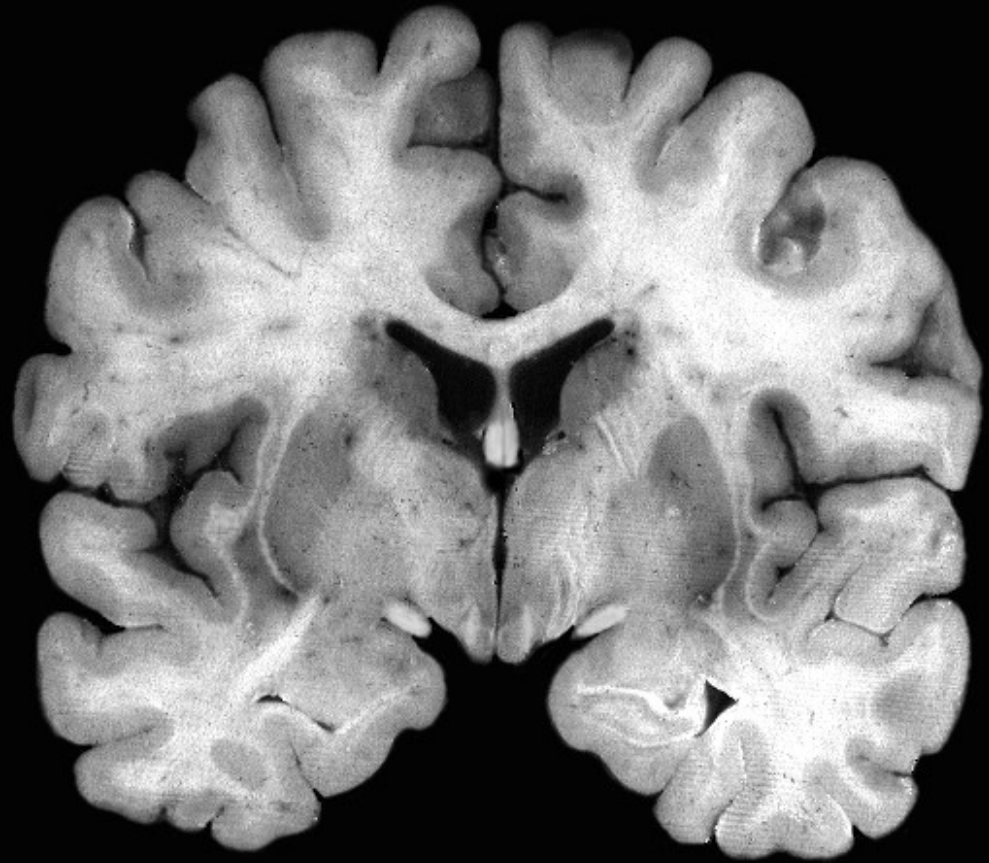
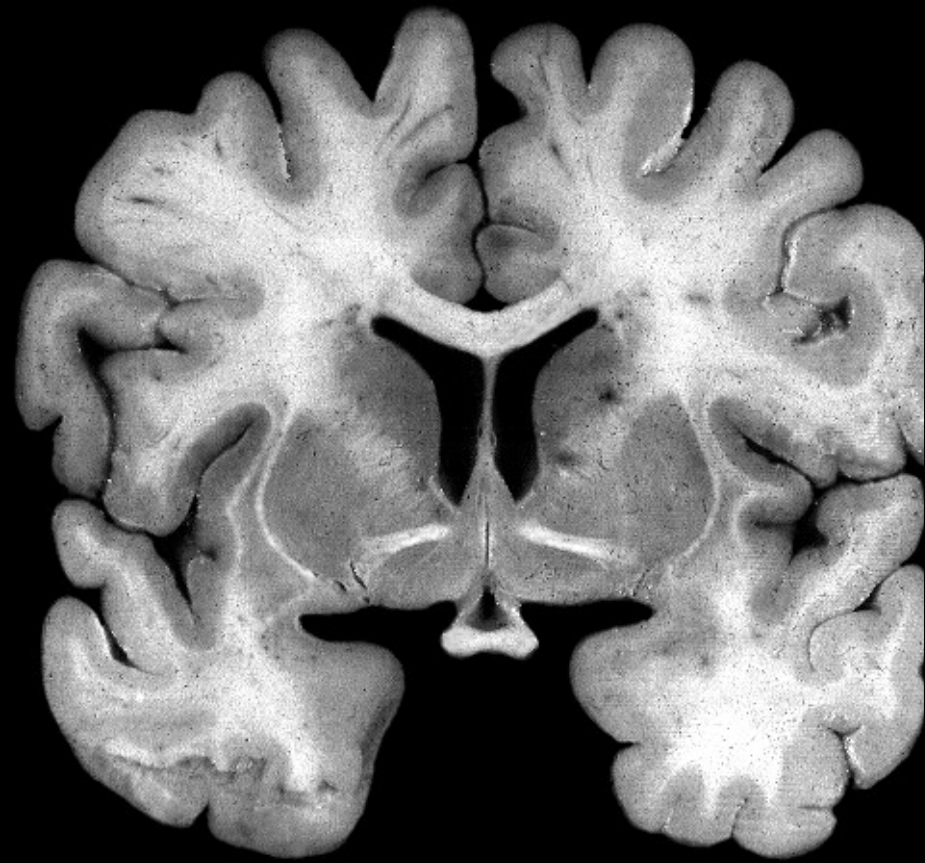
cornu temporale

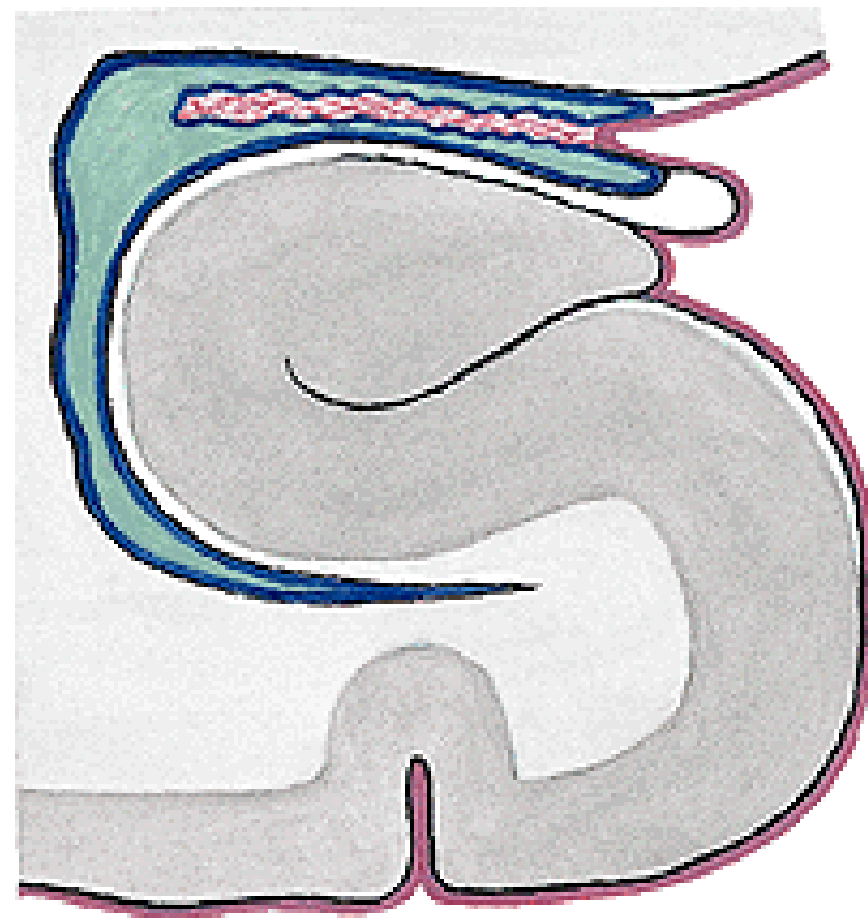
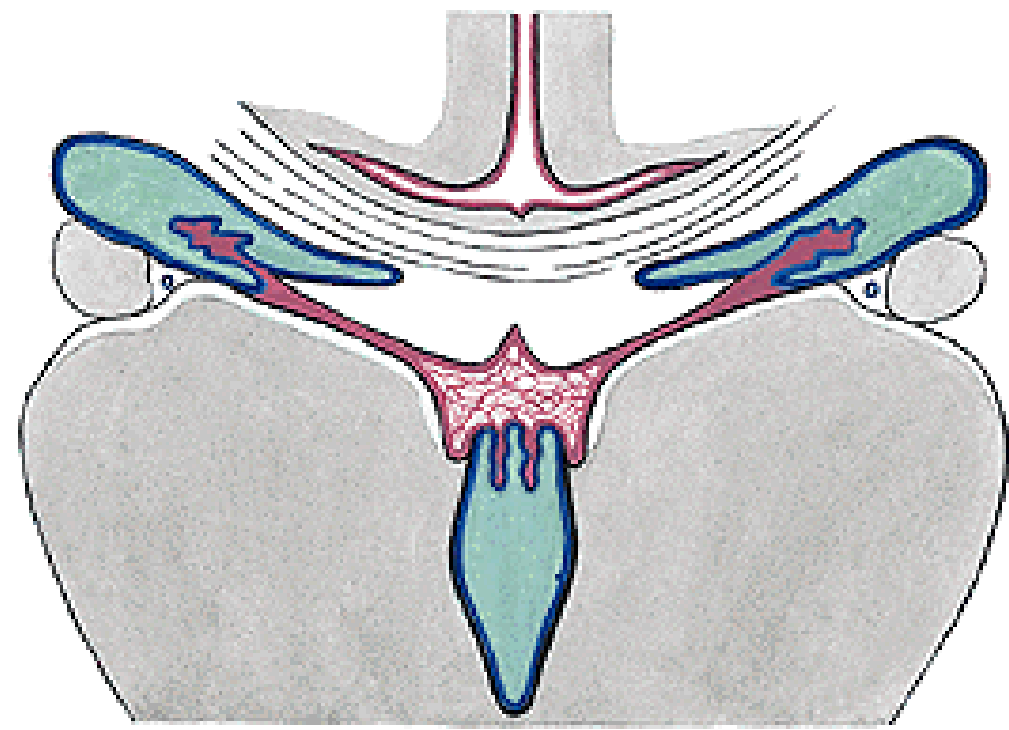


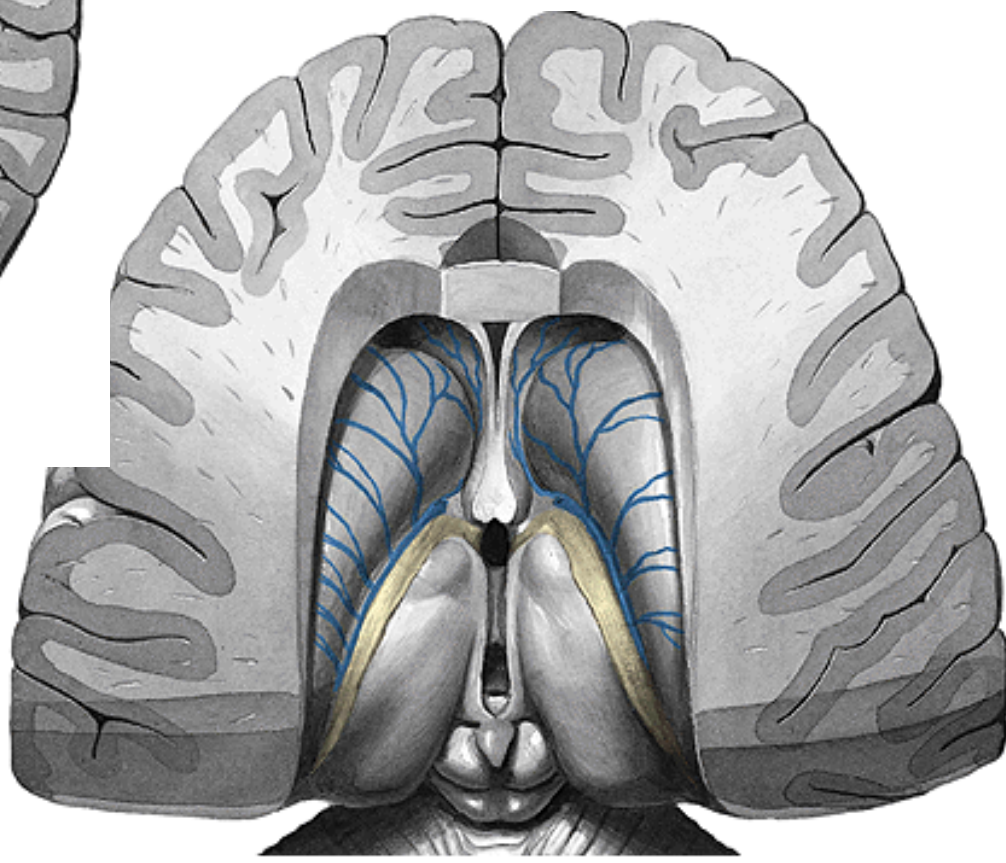
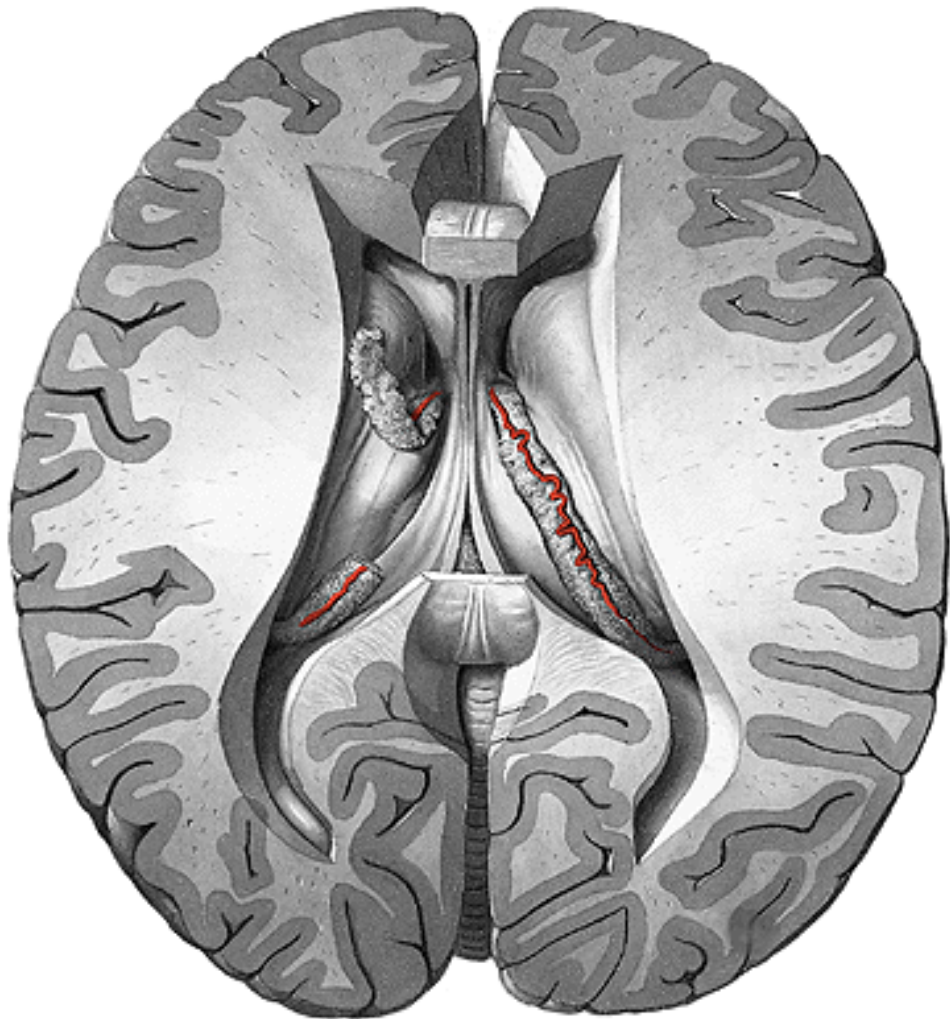
laterální průhled zleva

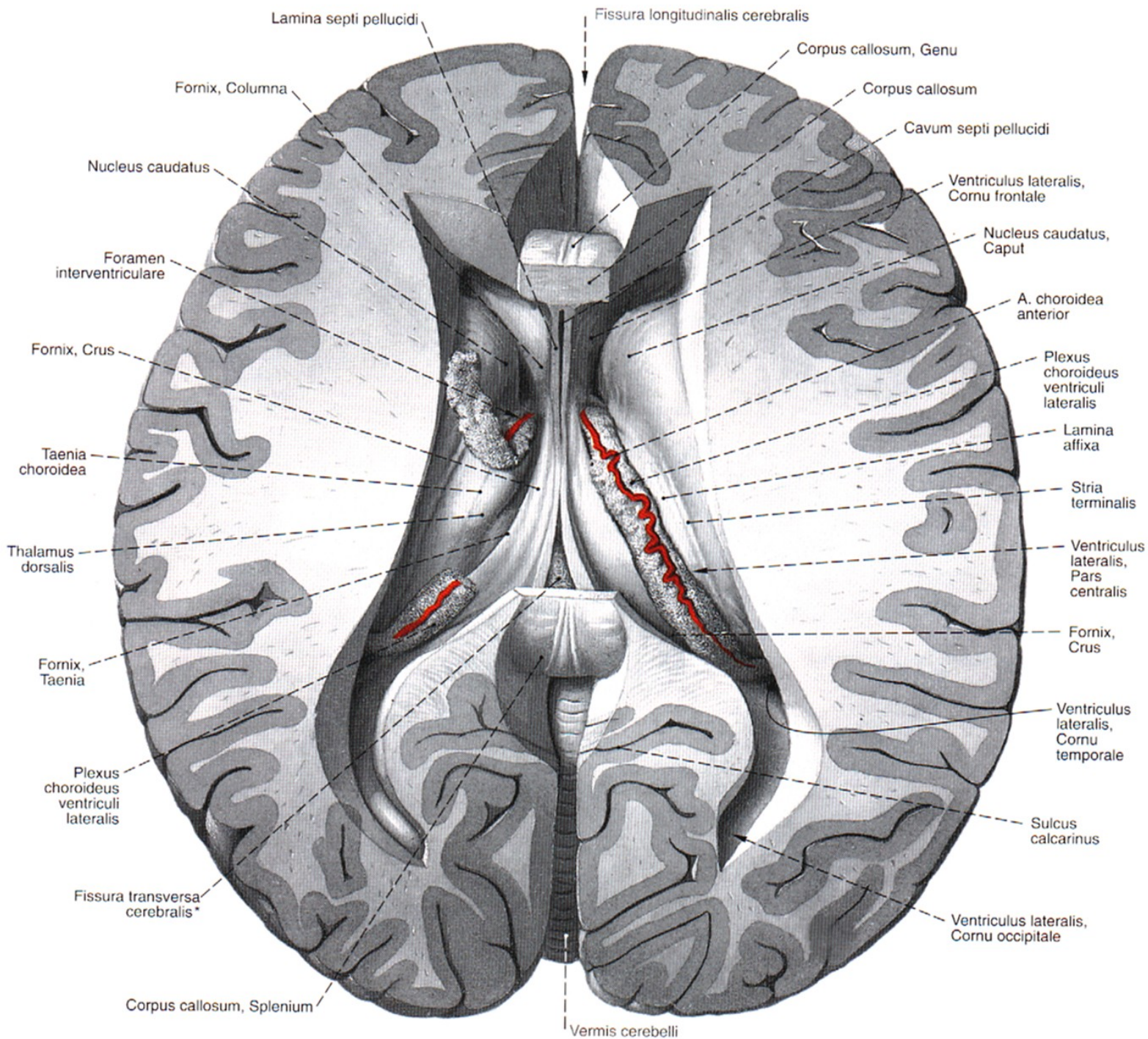


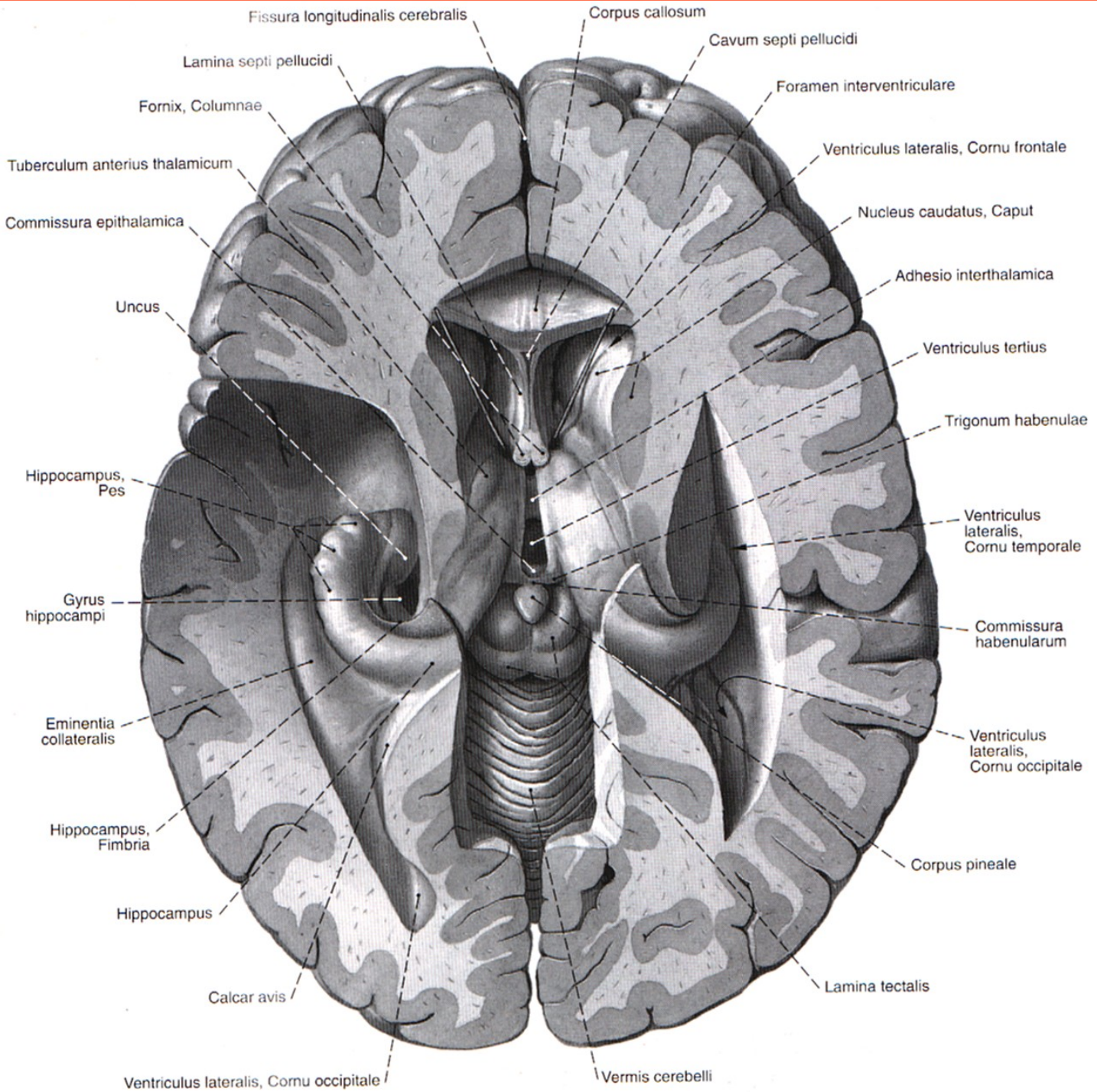


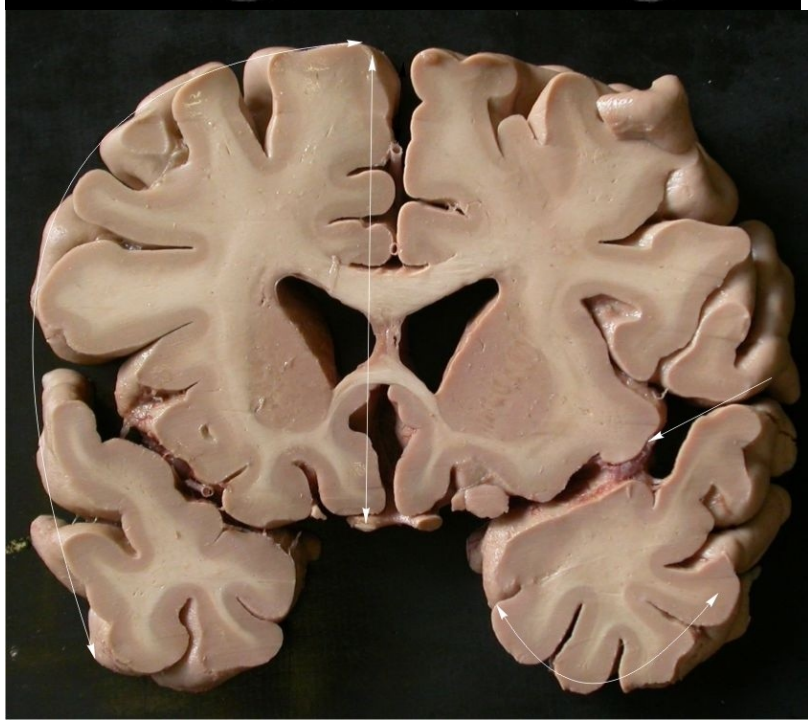
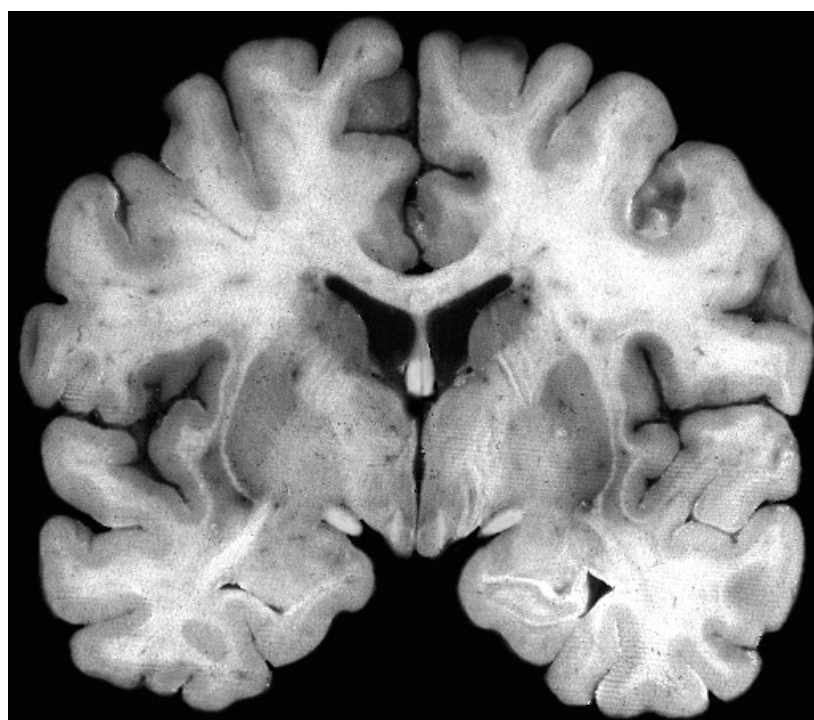
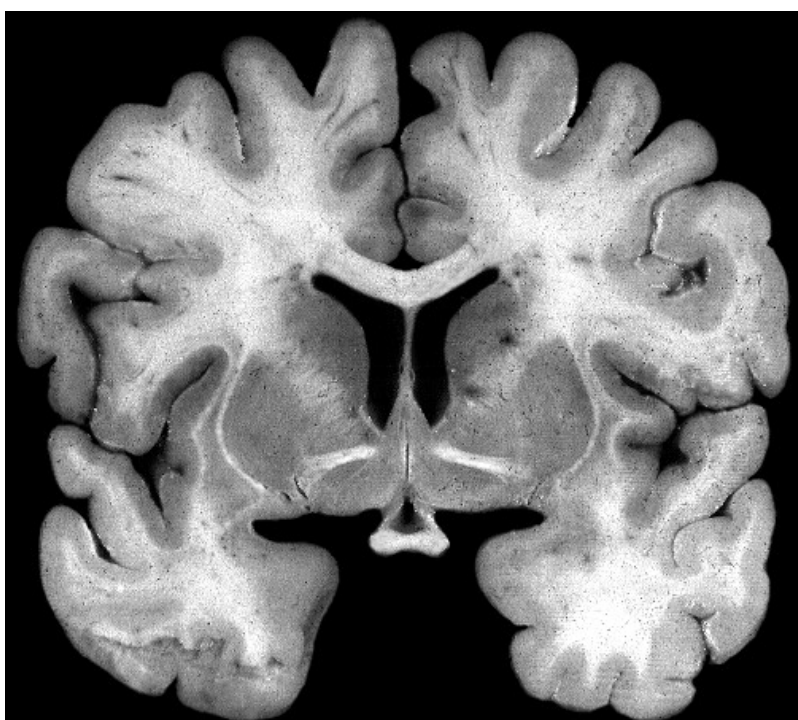




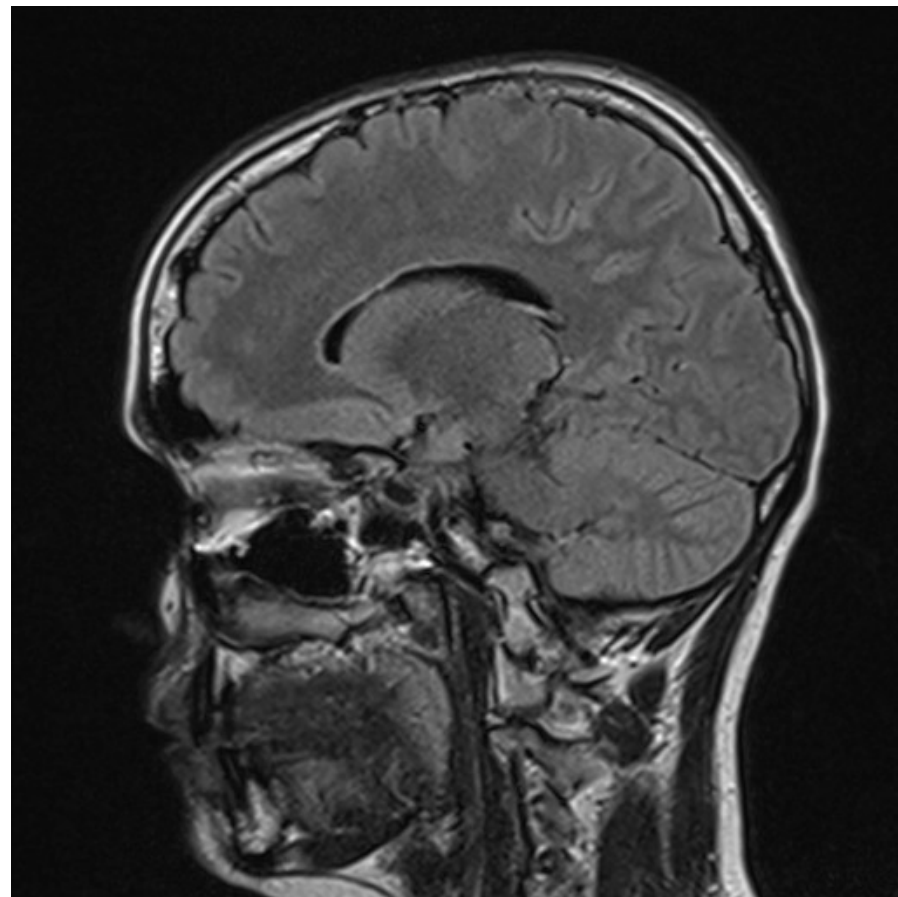
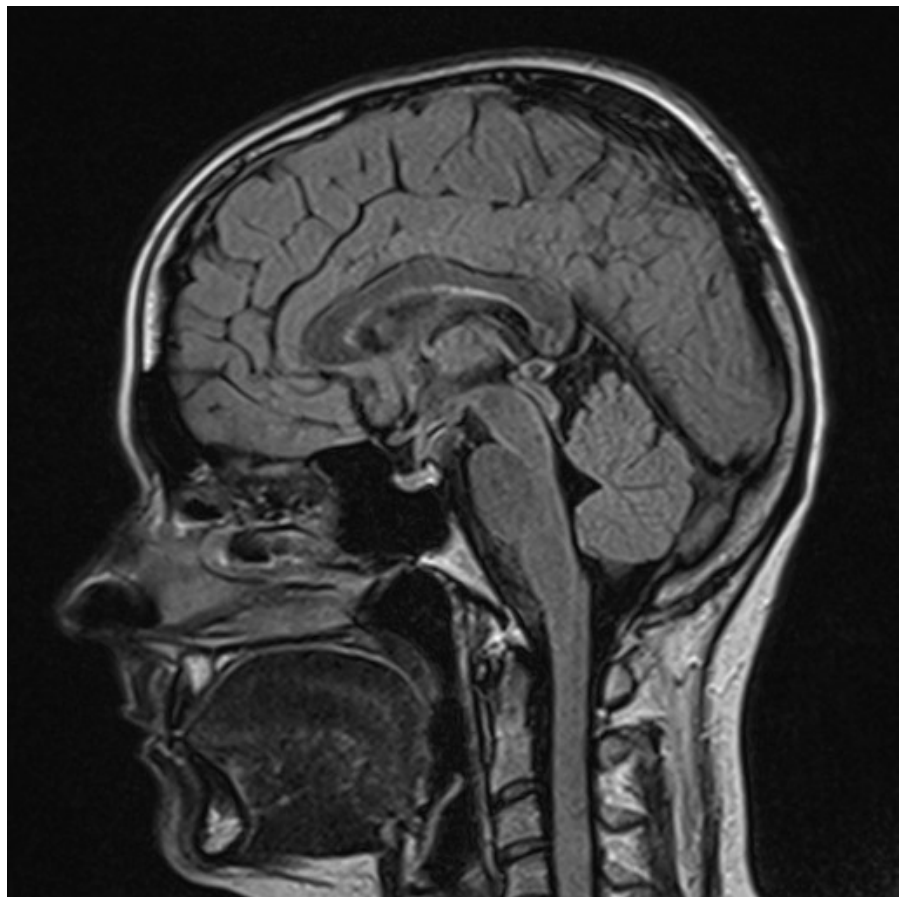


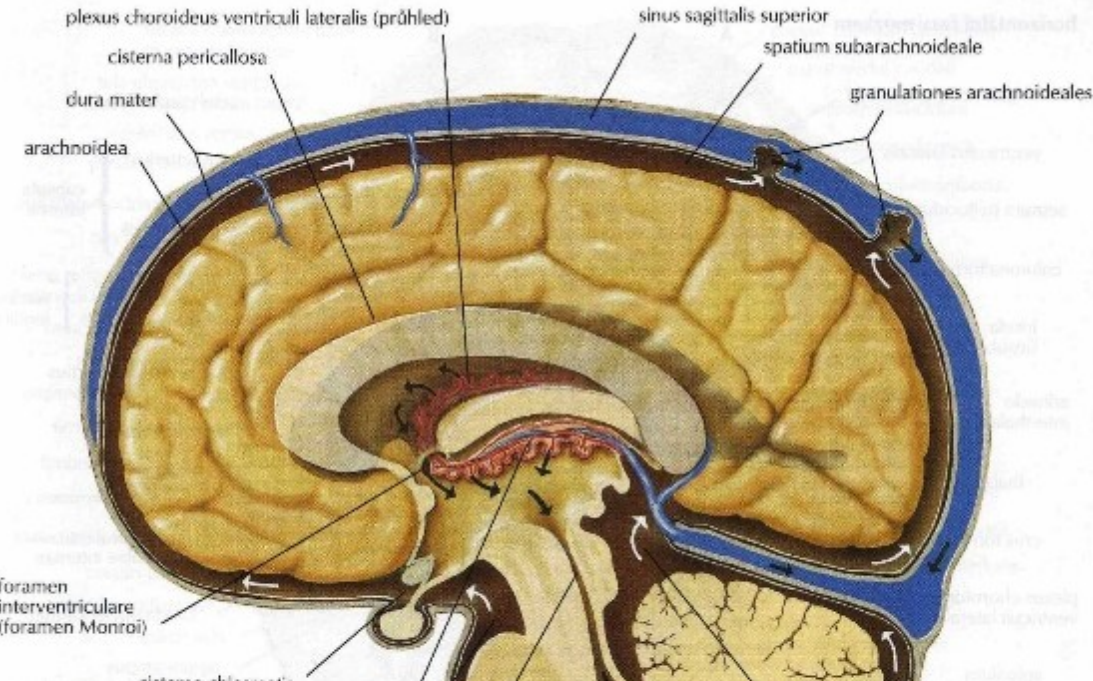




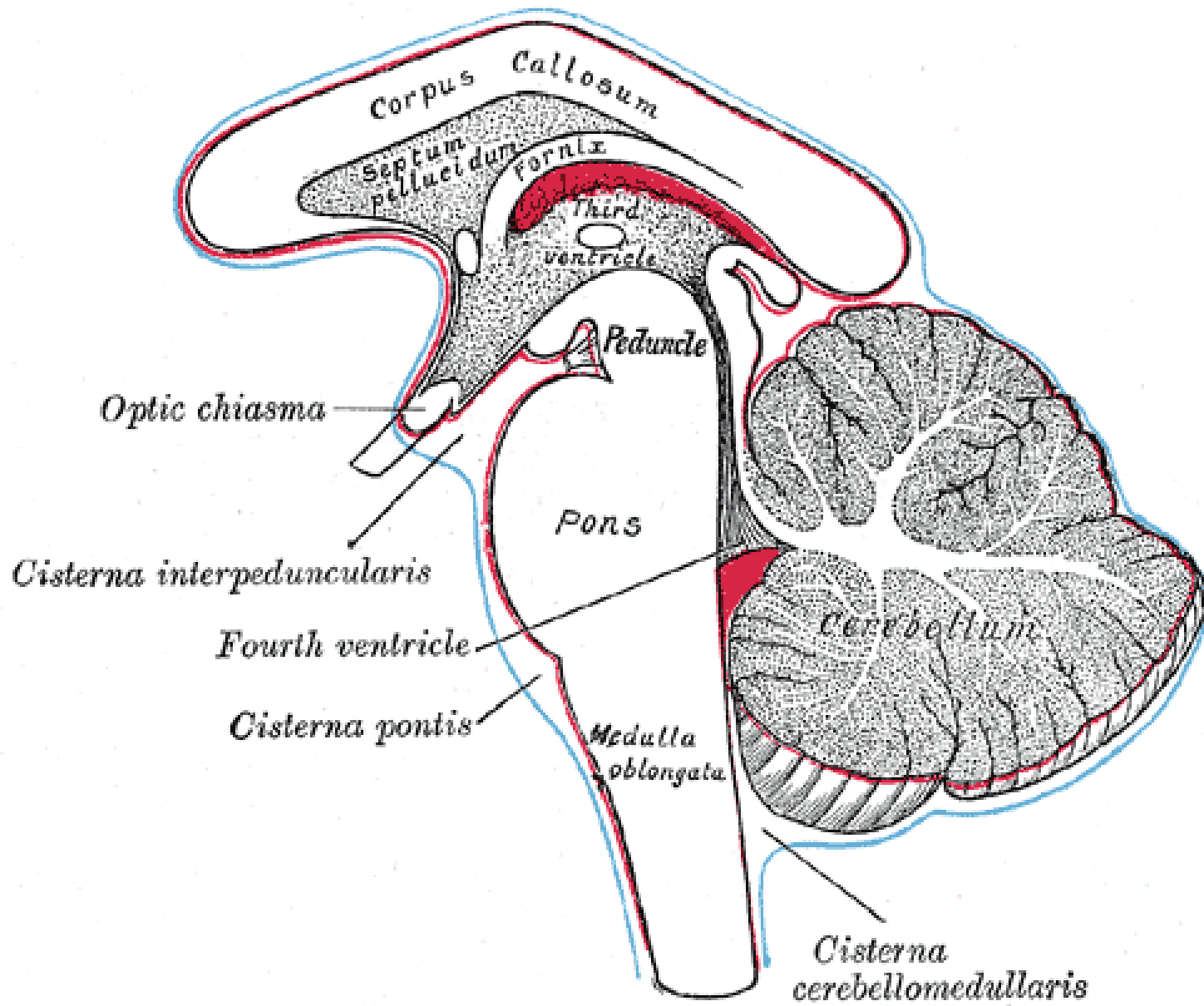


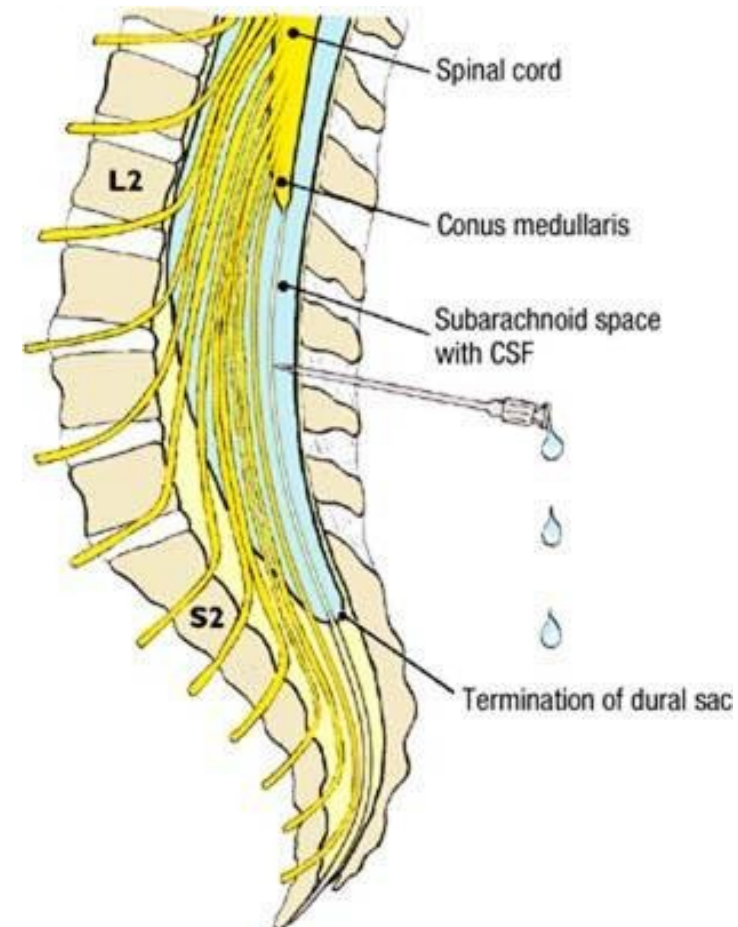
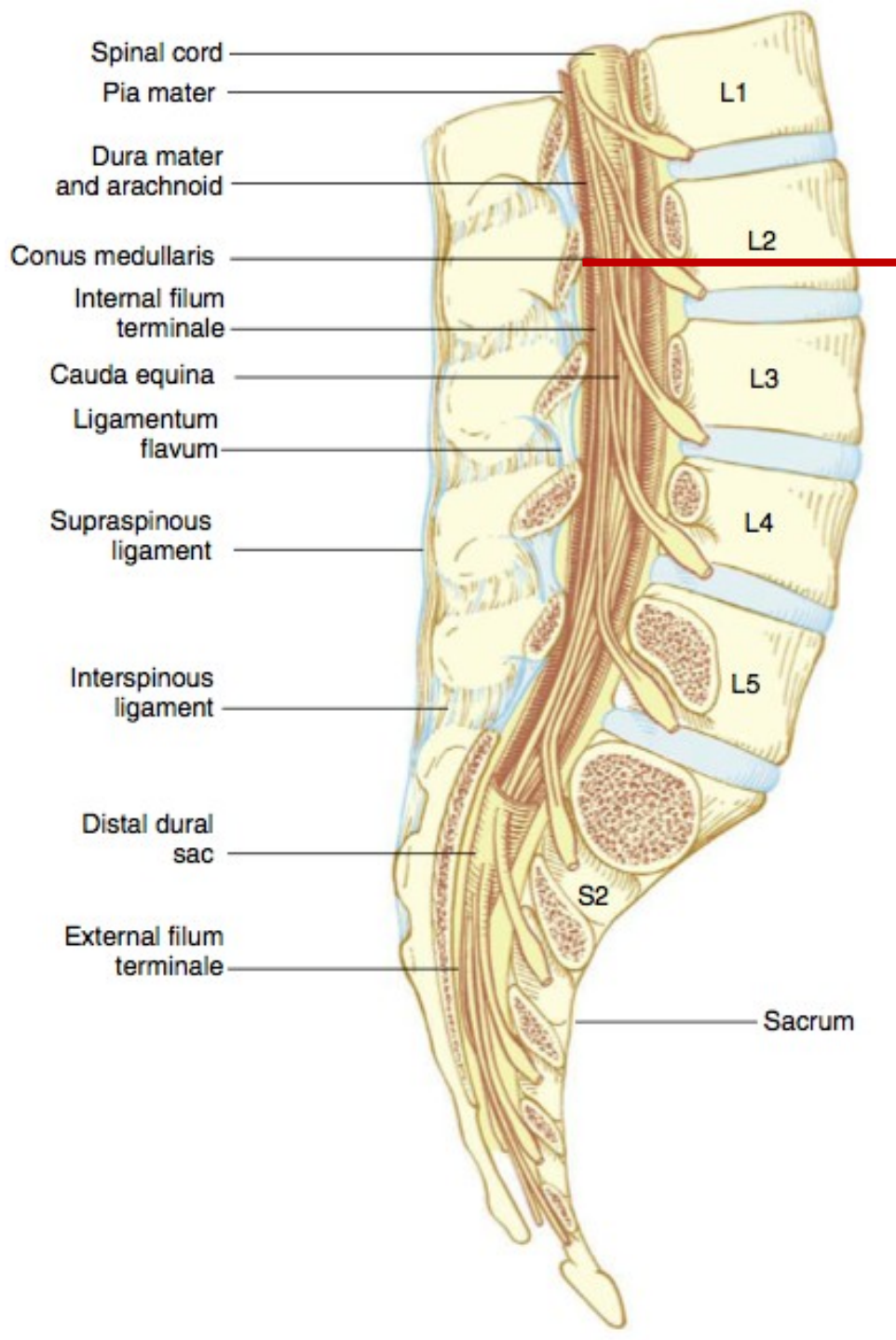
CT

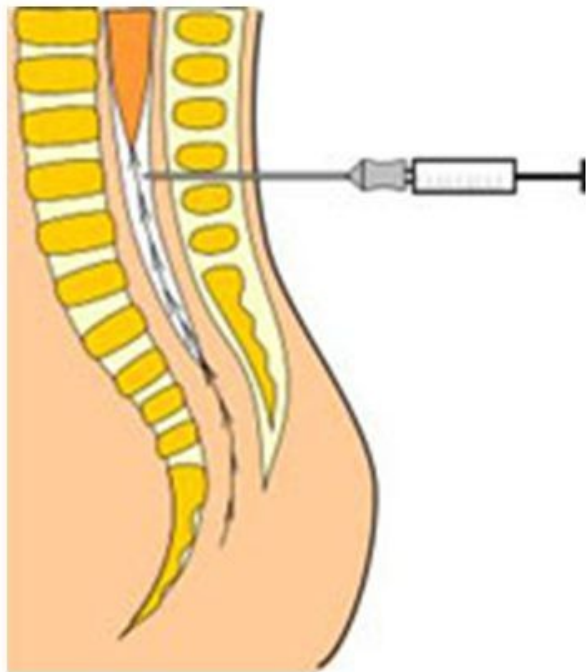




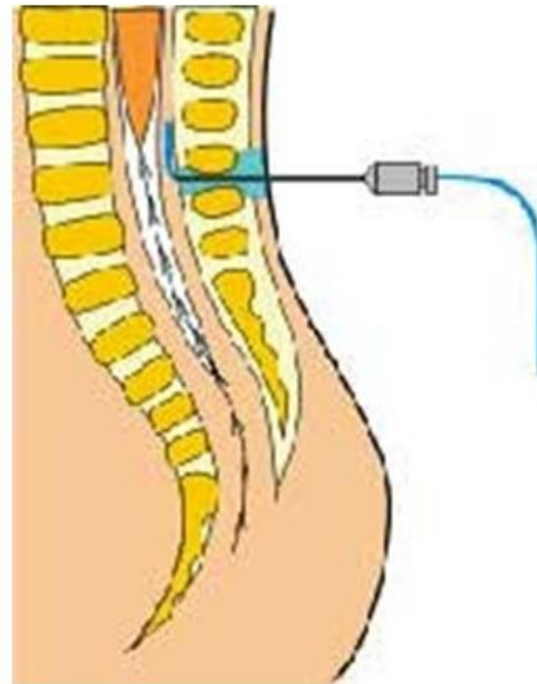
foramen Magendie foramina Luschkae



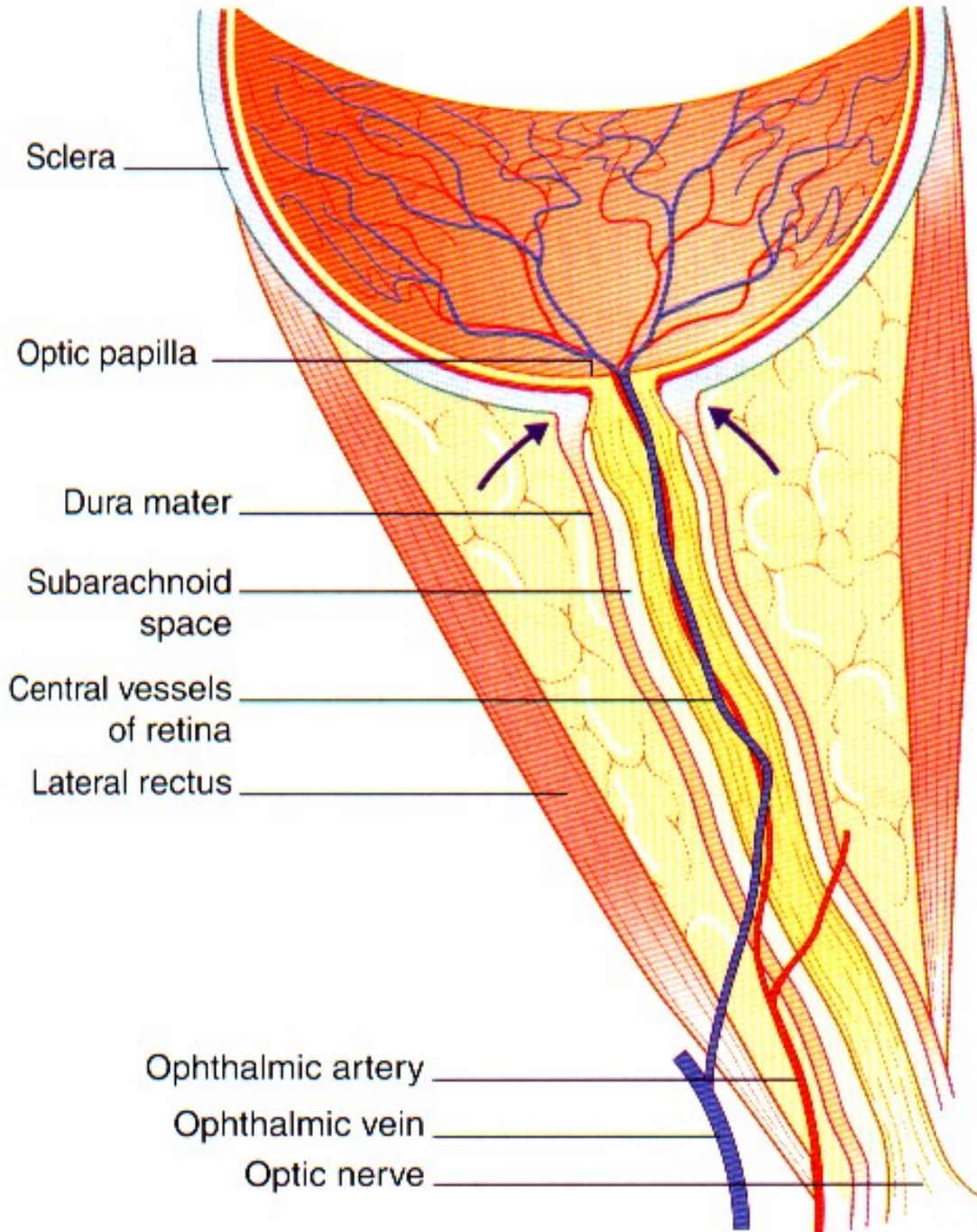




Subarachnoid (spinal) block



Epidural administration (anaesthesia)

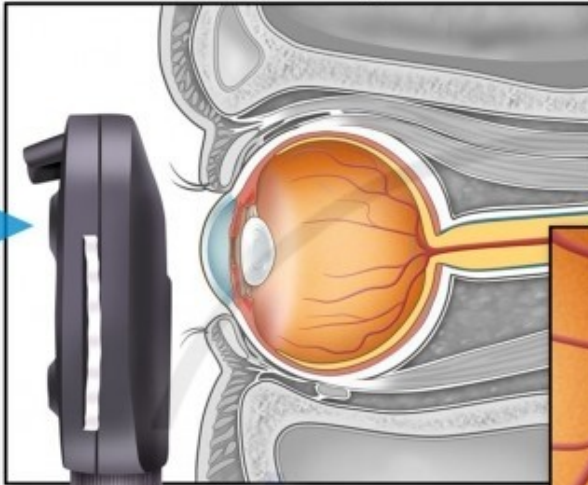


Increased pressure of CSF alongside of optic nerve – compression of v. centralis retinae – **Papilledema (papilloedema)**

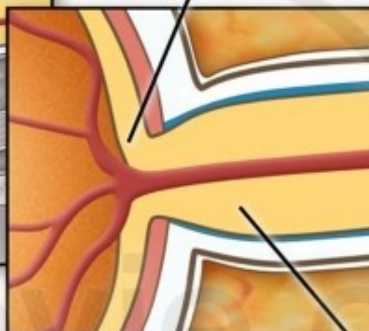
Fundus Exam - Normal vs. Papilledema

Normal eye

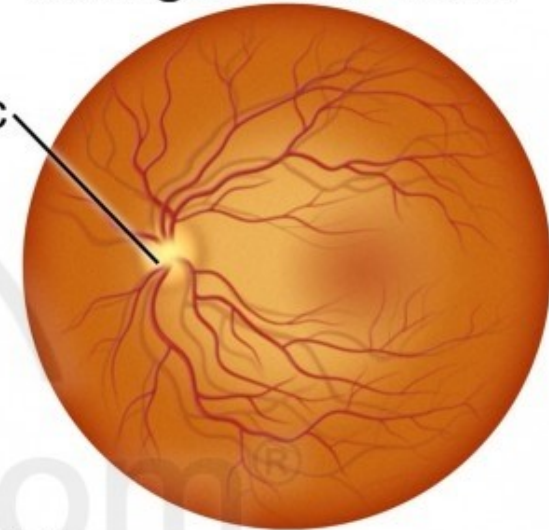
Physician looks through ophthalmoscope



Normal optic disc



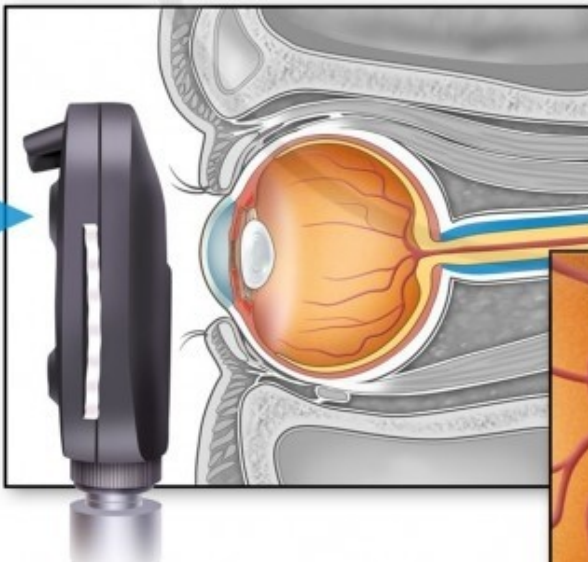
Normal retina as seen during fundus exam



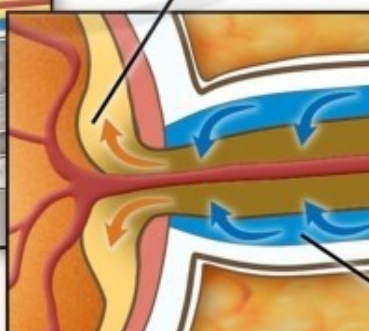
Optic nerve

Eye with papilledema

Physician looks through ophthalmoscope

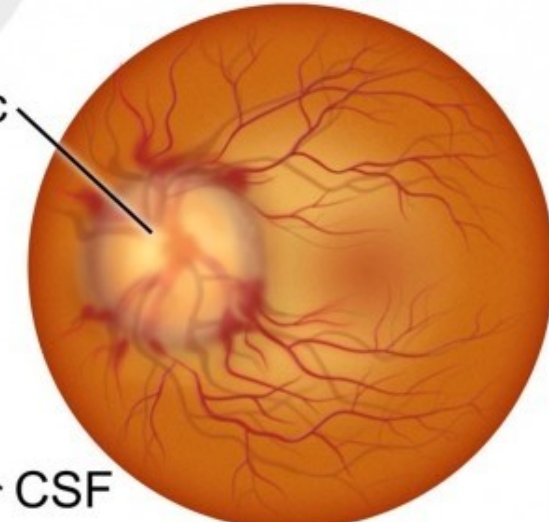


Bulging optic disc

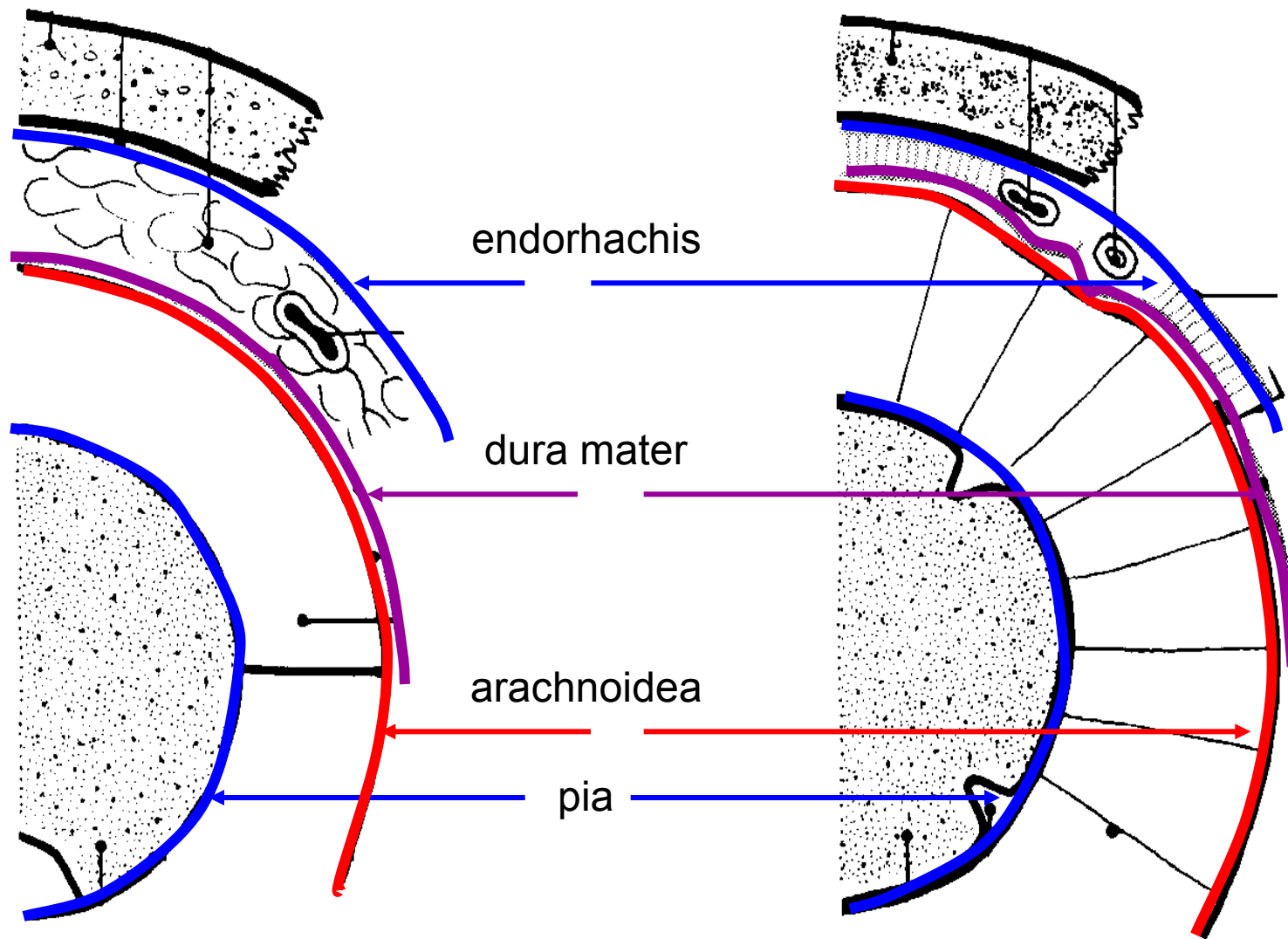


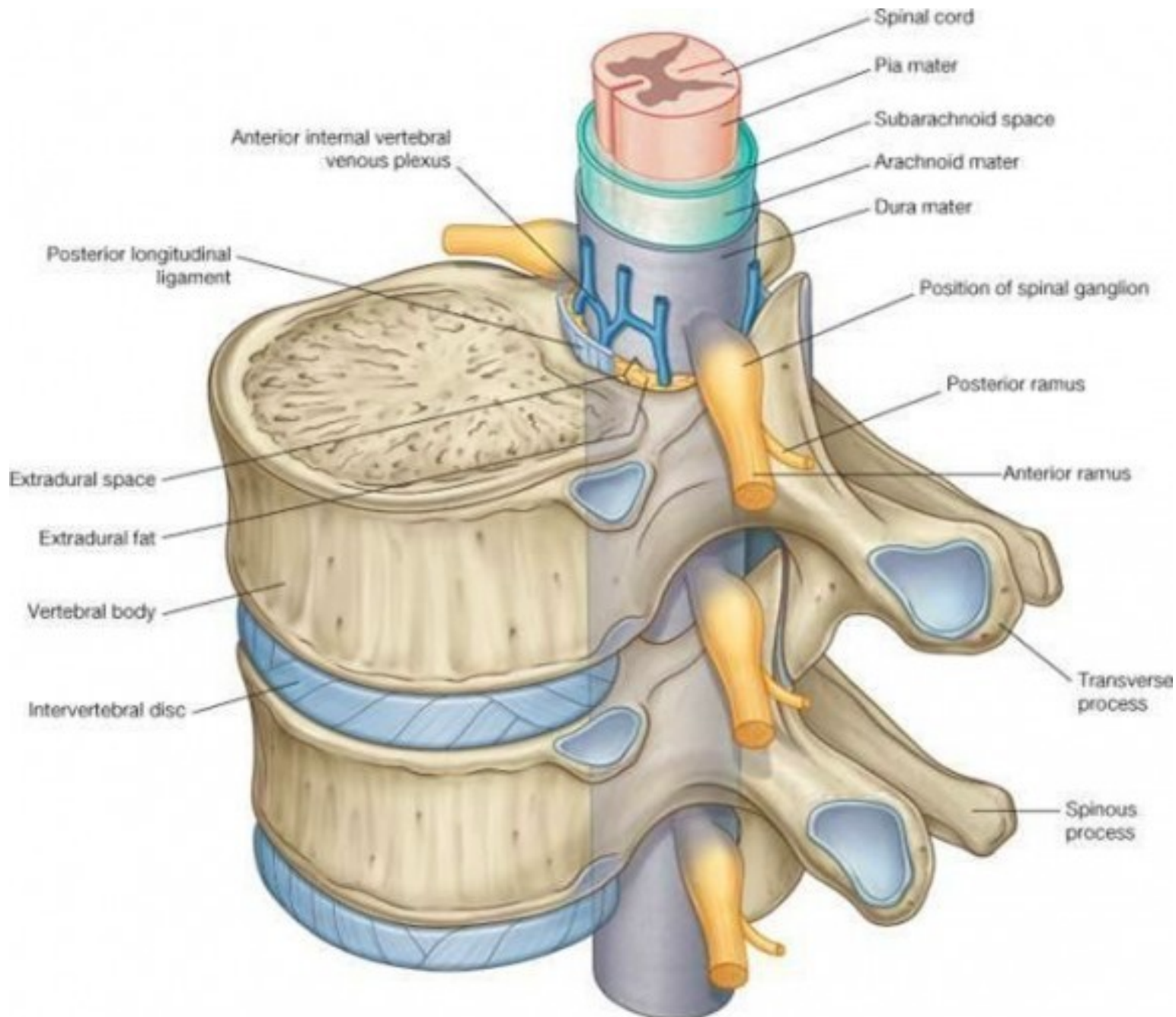
CSF

Retina with papilledema as seen during exam



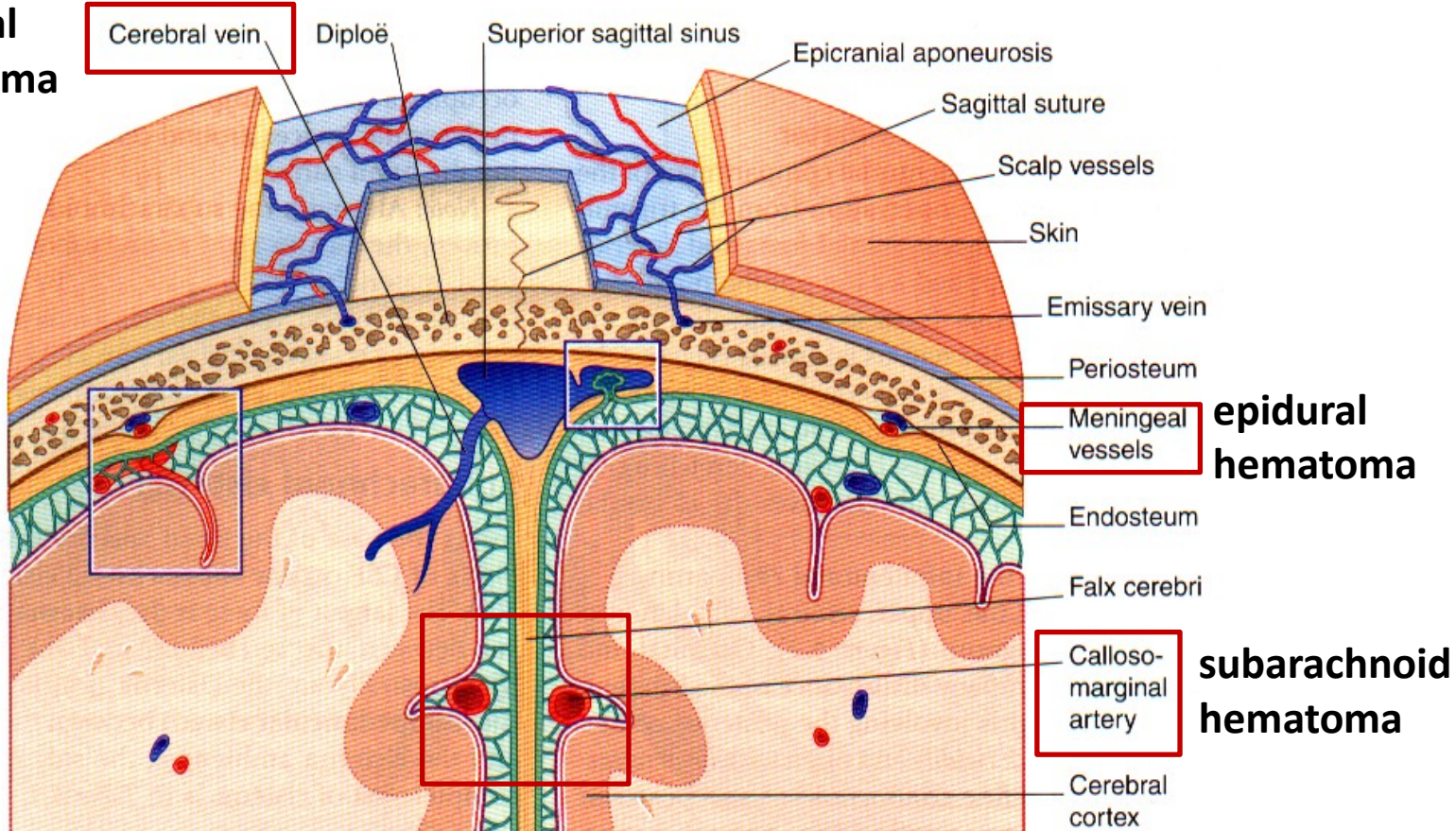
Meninges of CNS



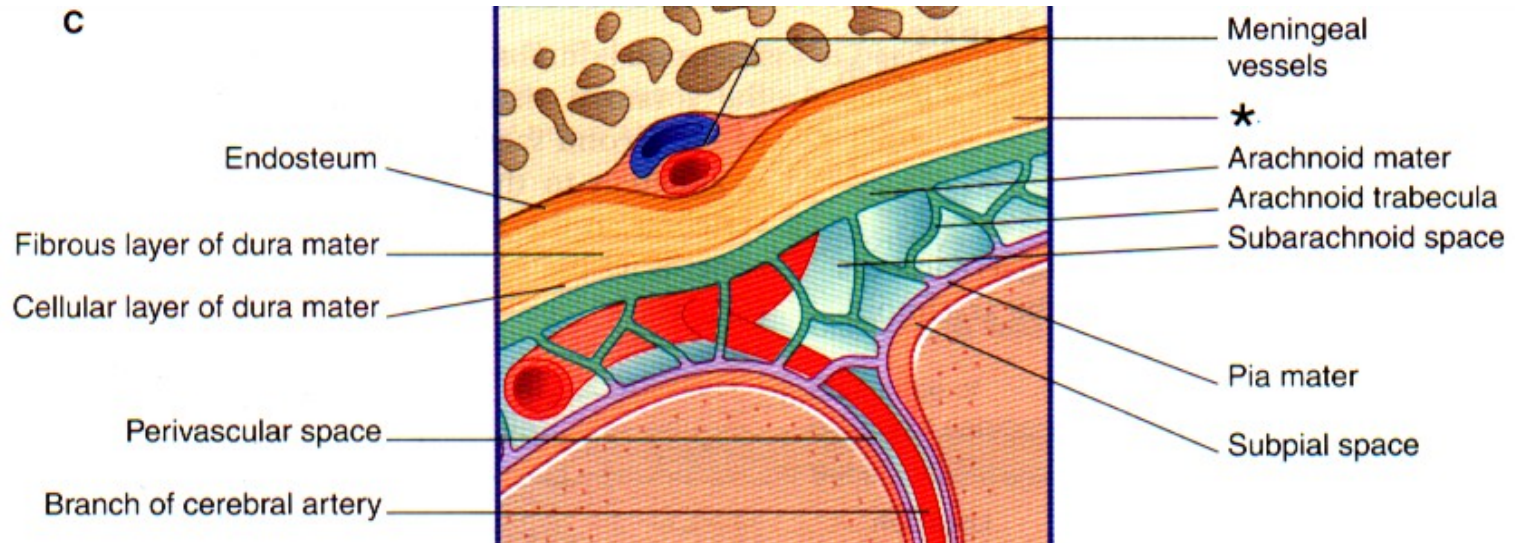


subdural hematoma

A



C



Cerebral cortex

kost

periost

dura

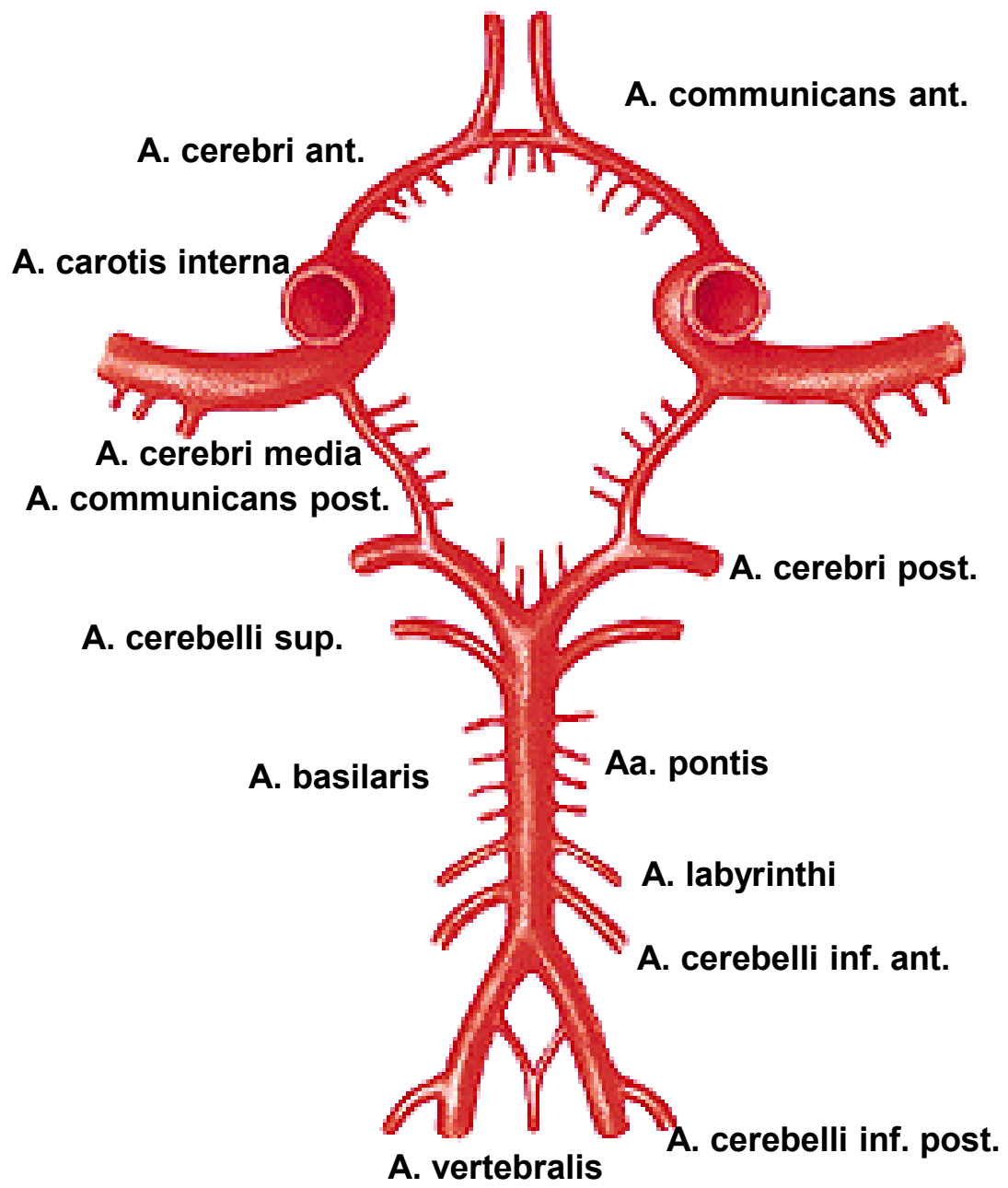
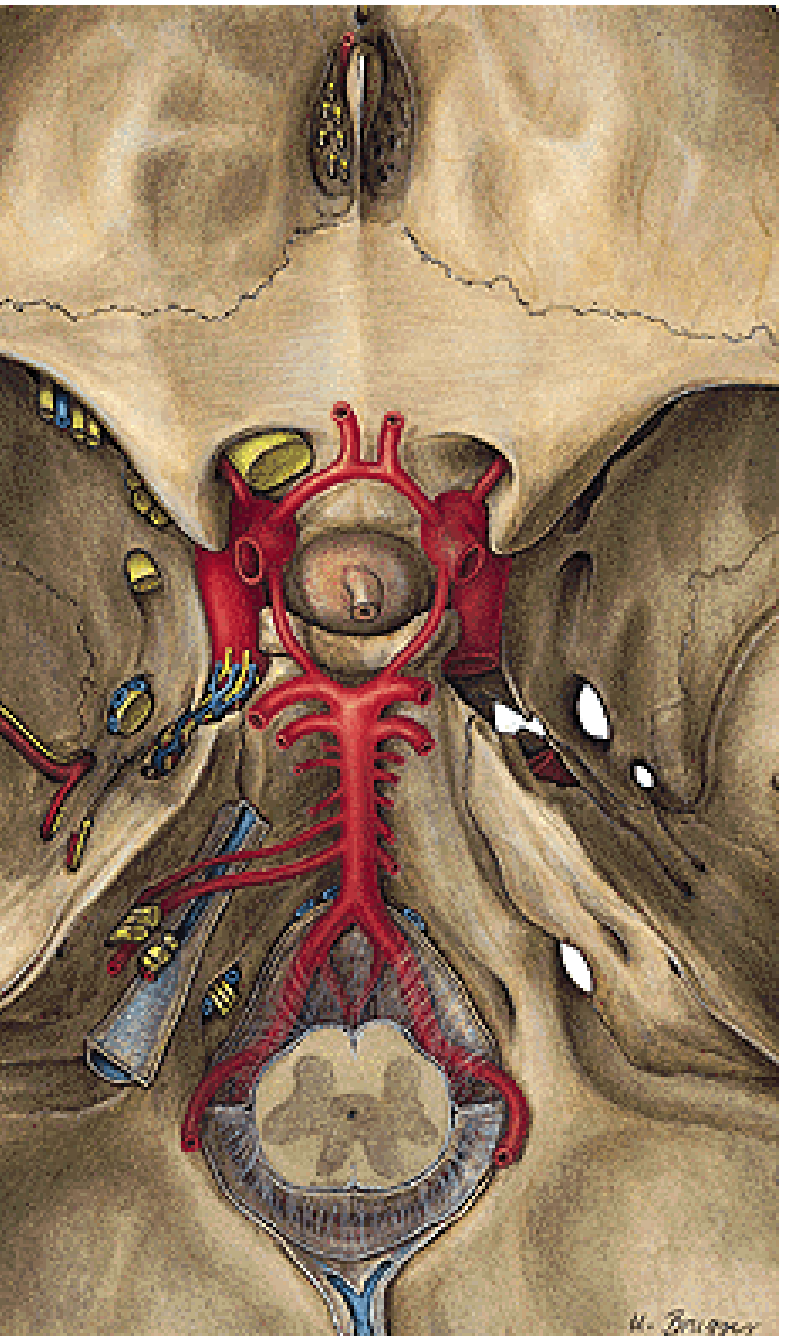
arachnoidea

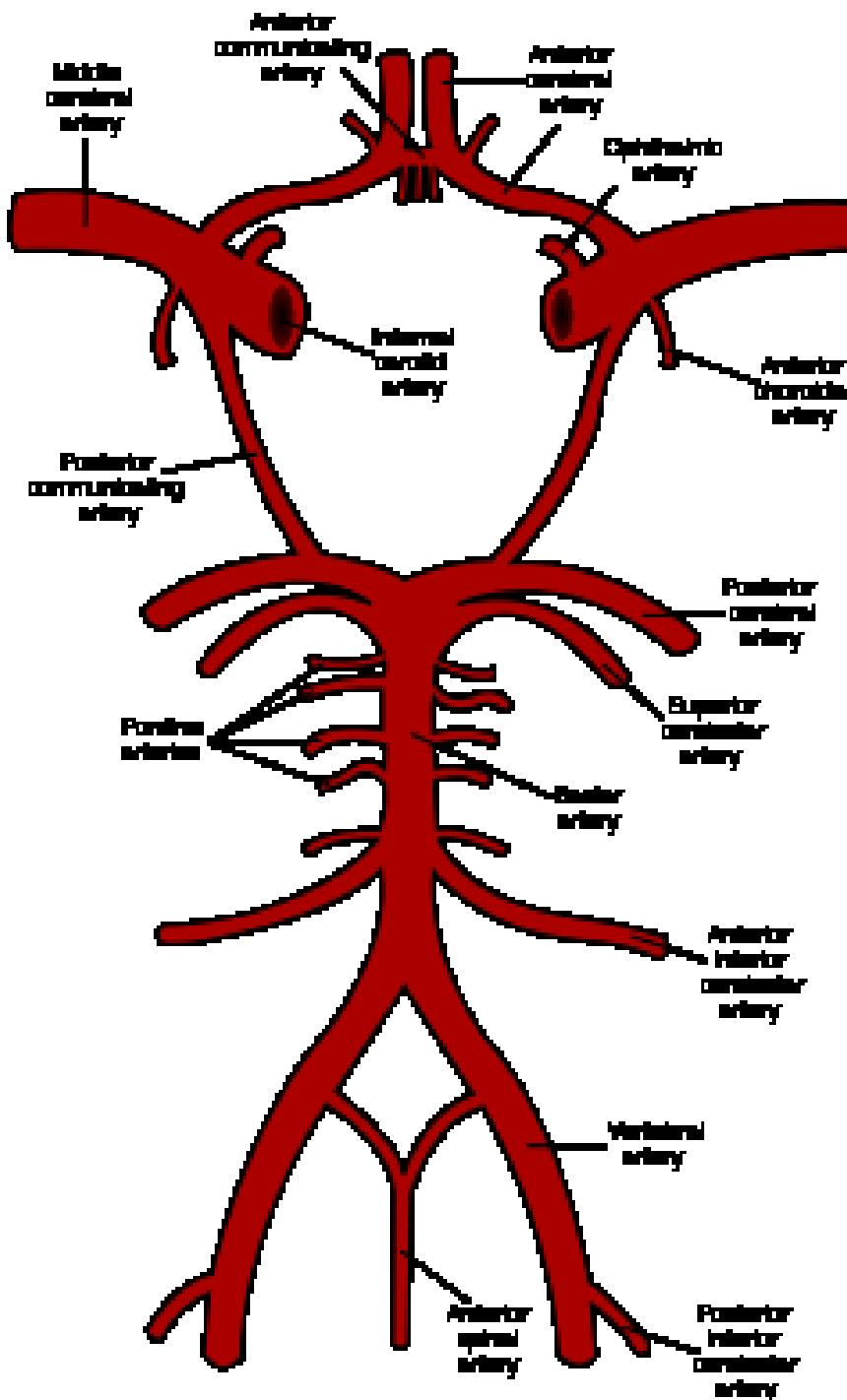
subarachnoideový
prostor

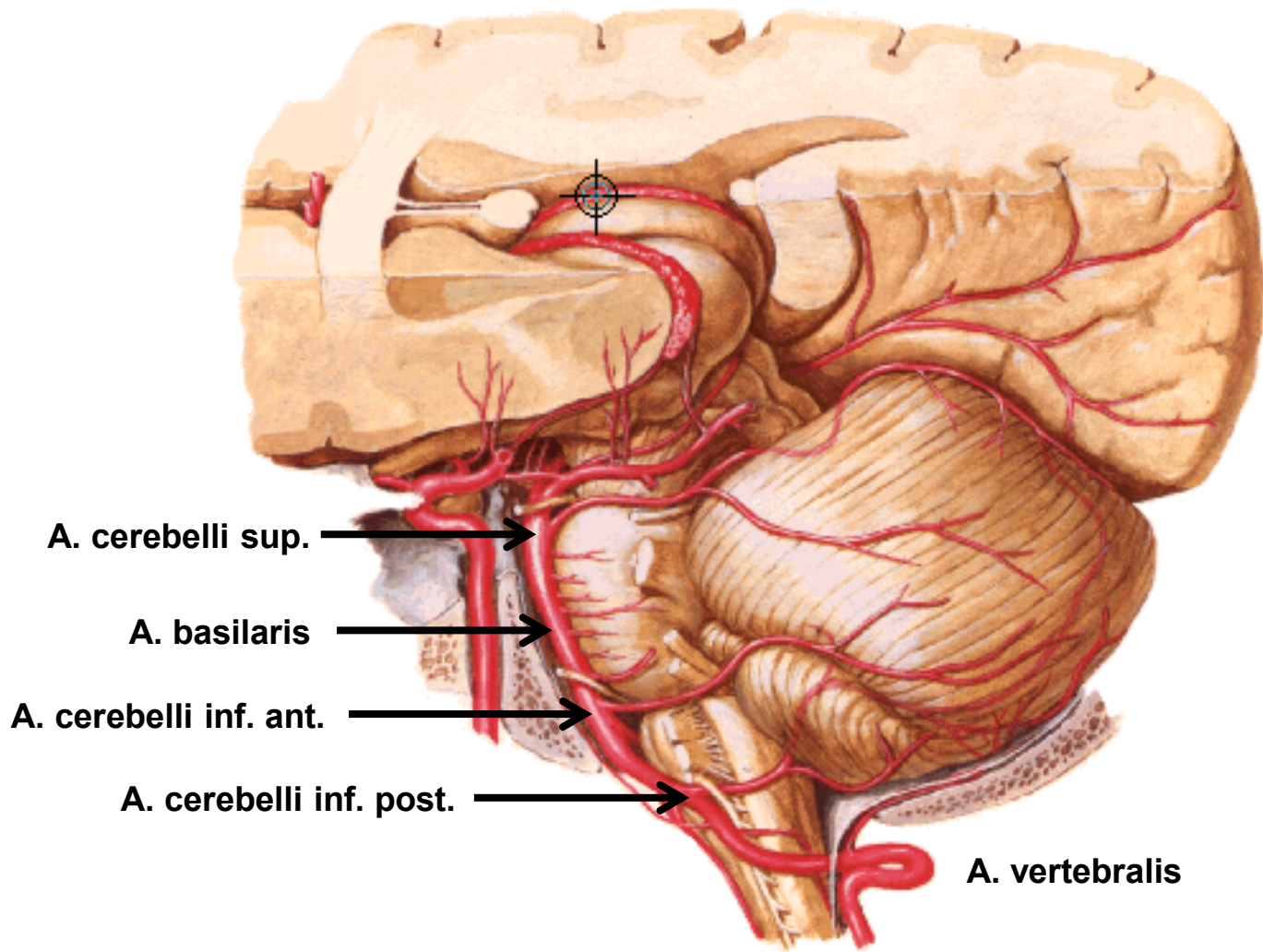
perivaskulární
prostor

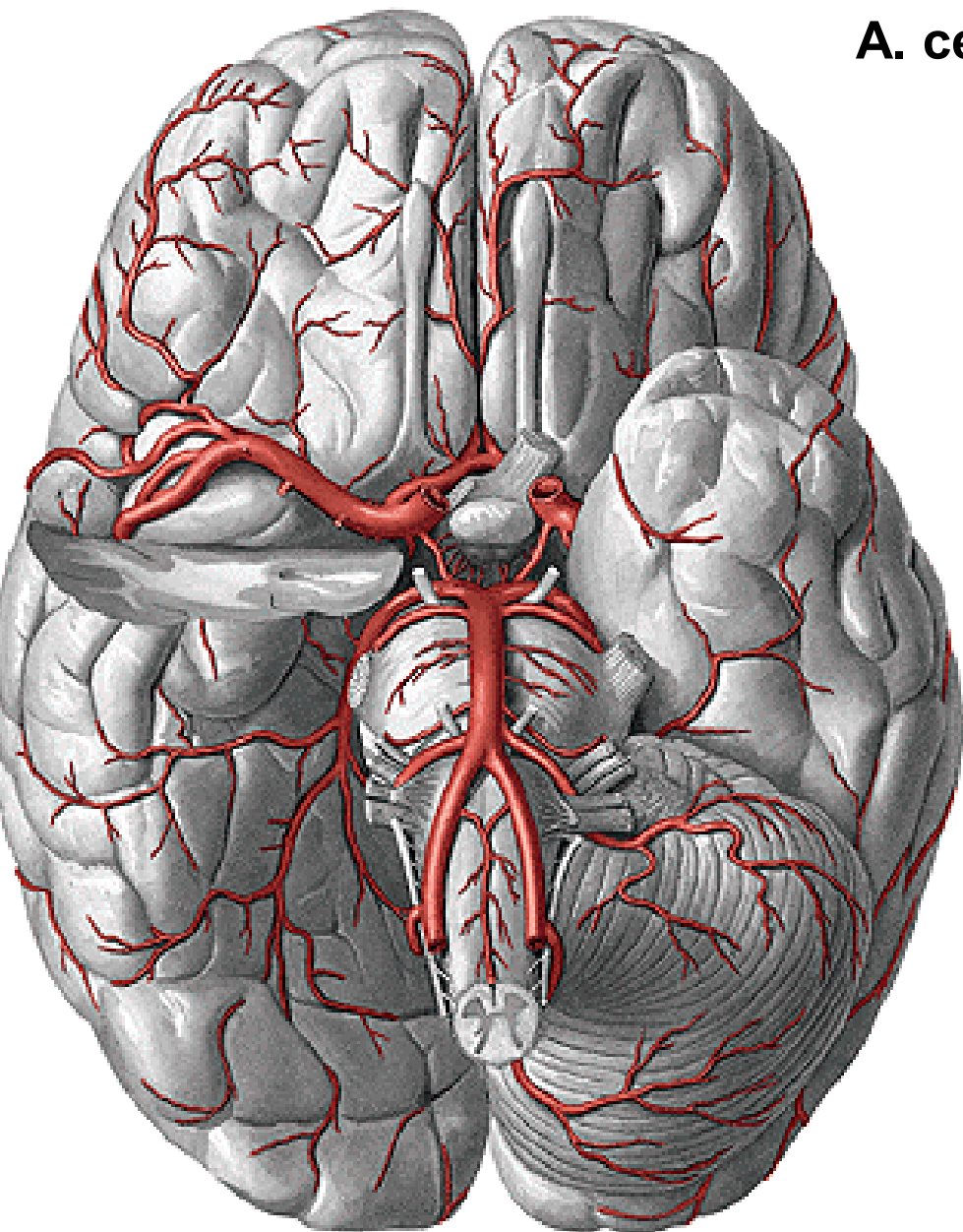
Perivaskular Robinn-Virchow's space

Circulus arteriosus cerebri (Willis)

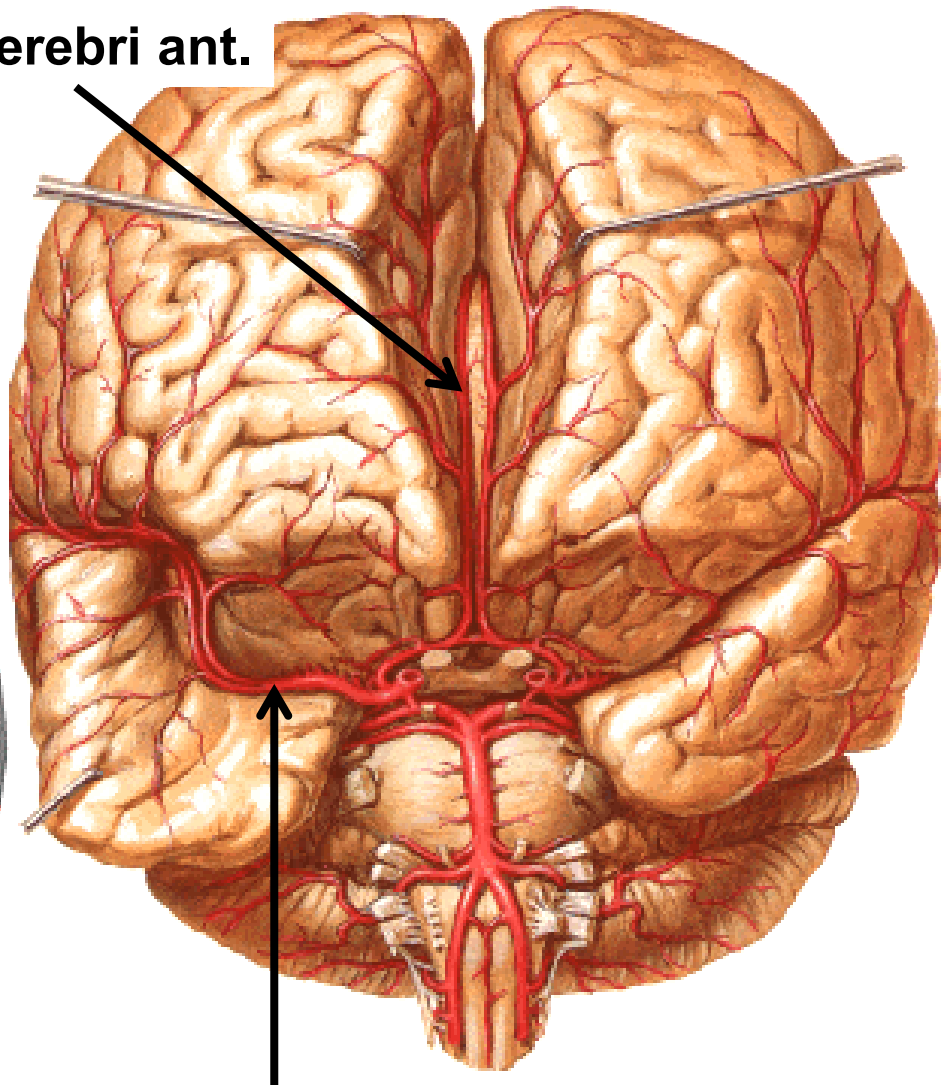




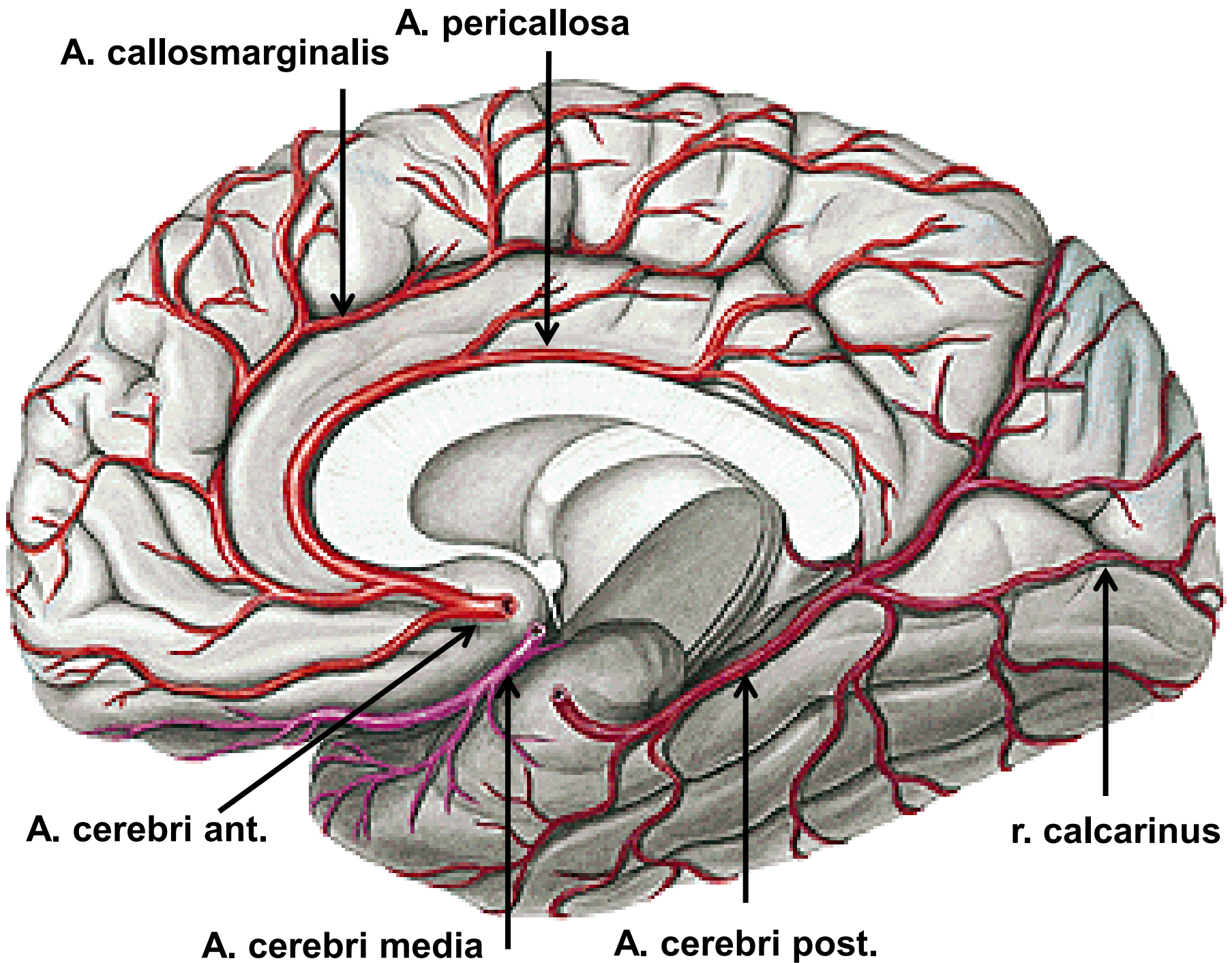


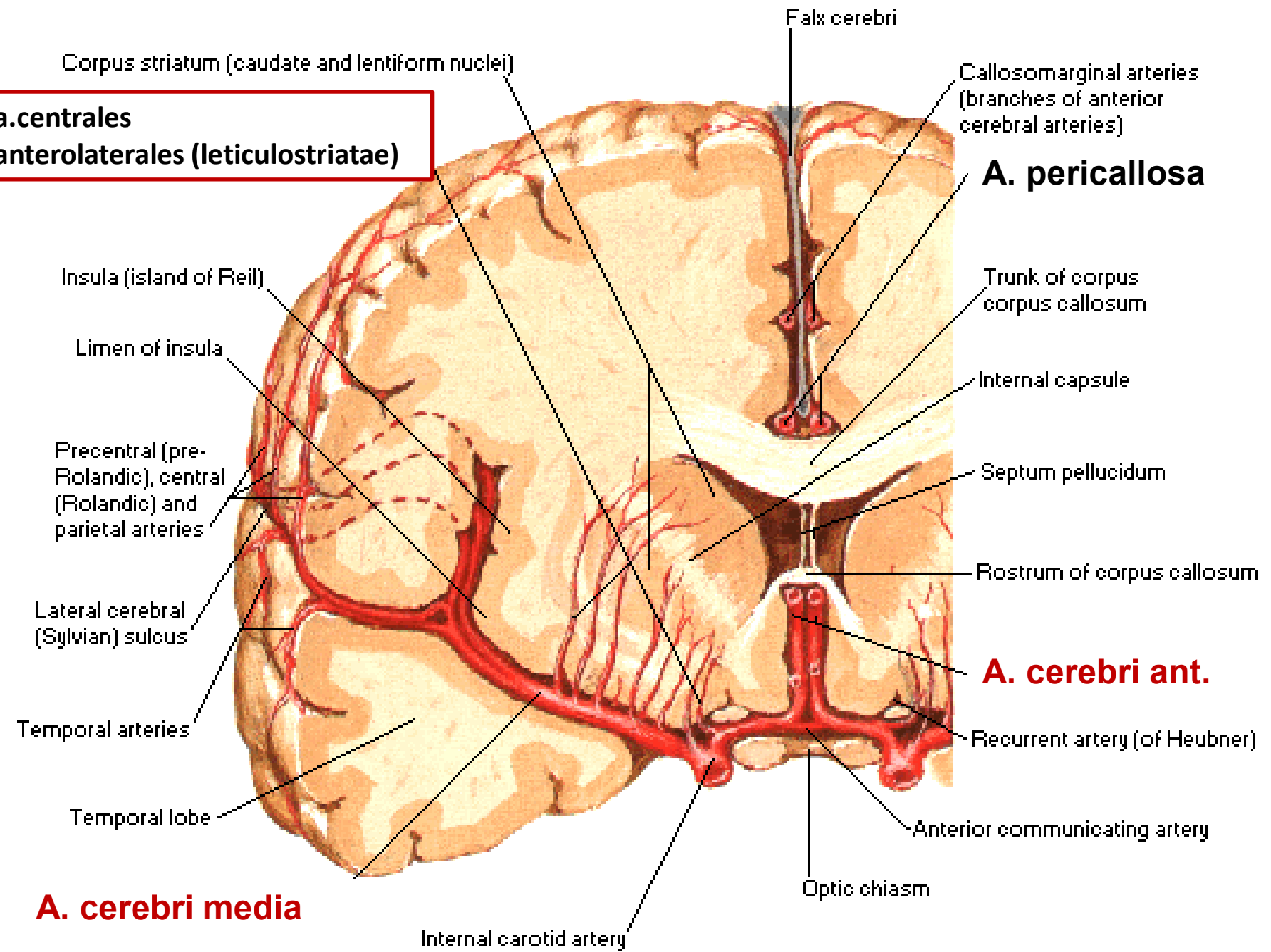


A. cerebri ant.

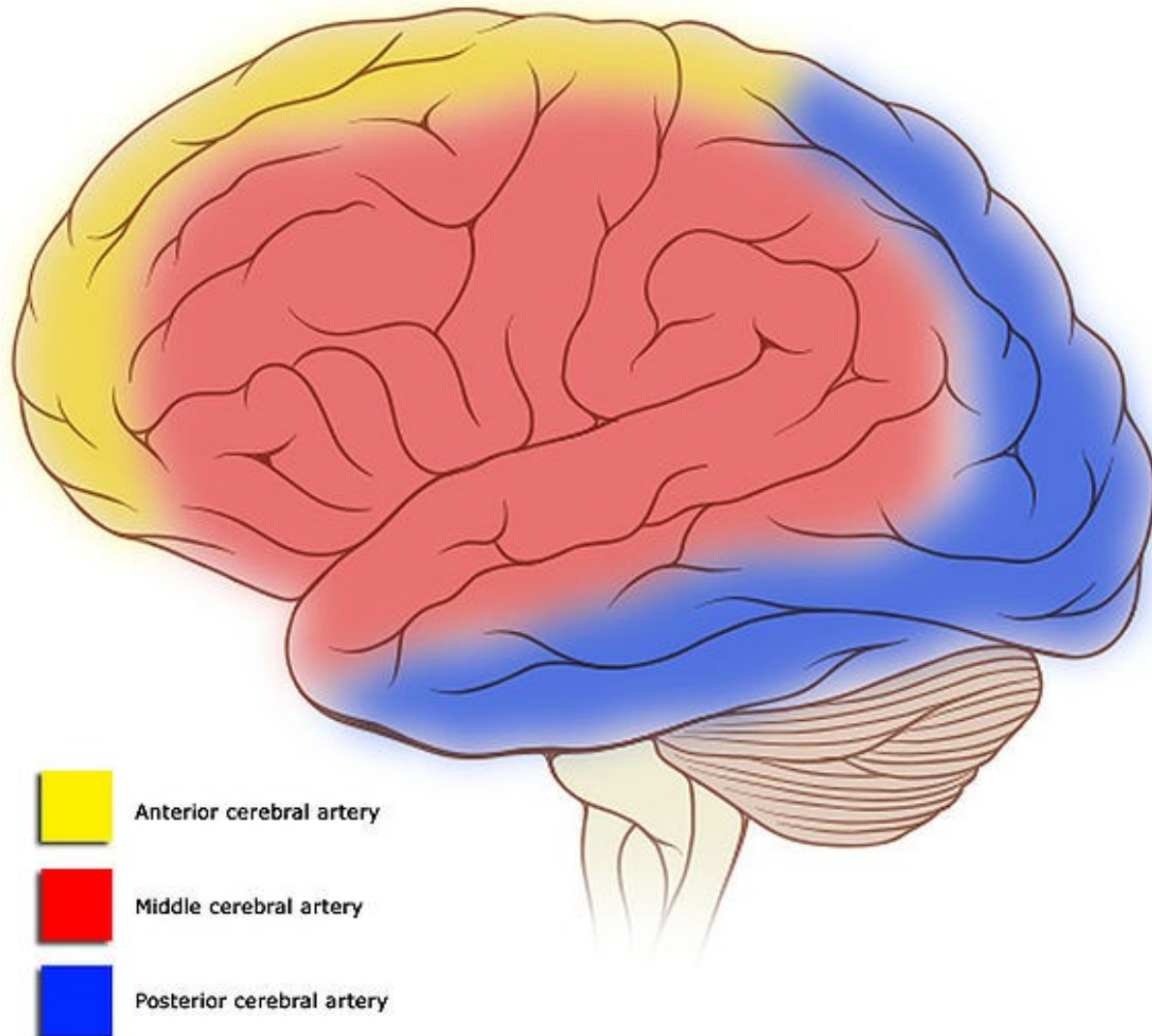


A. cerebri media

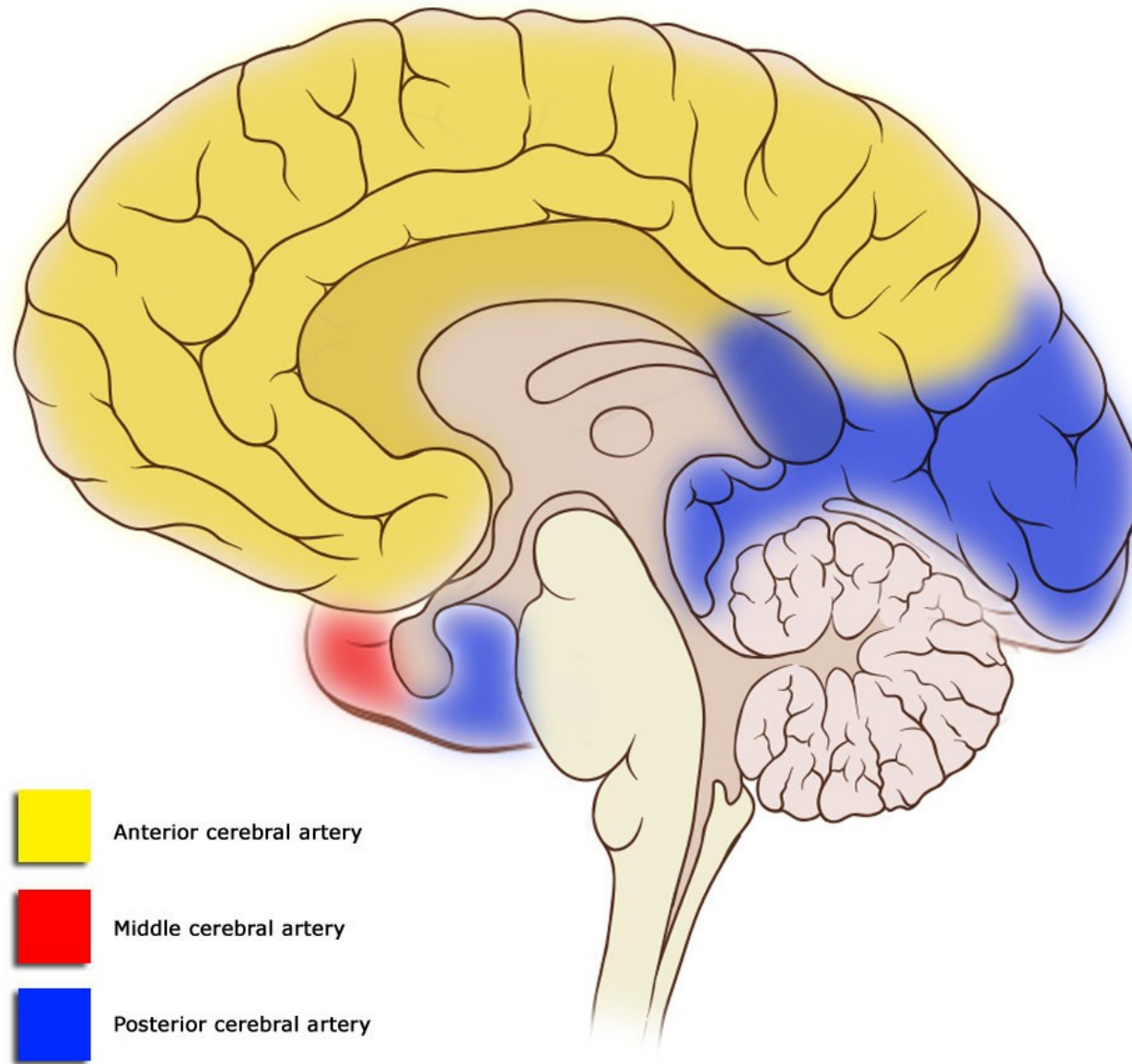


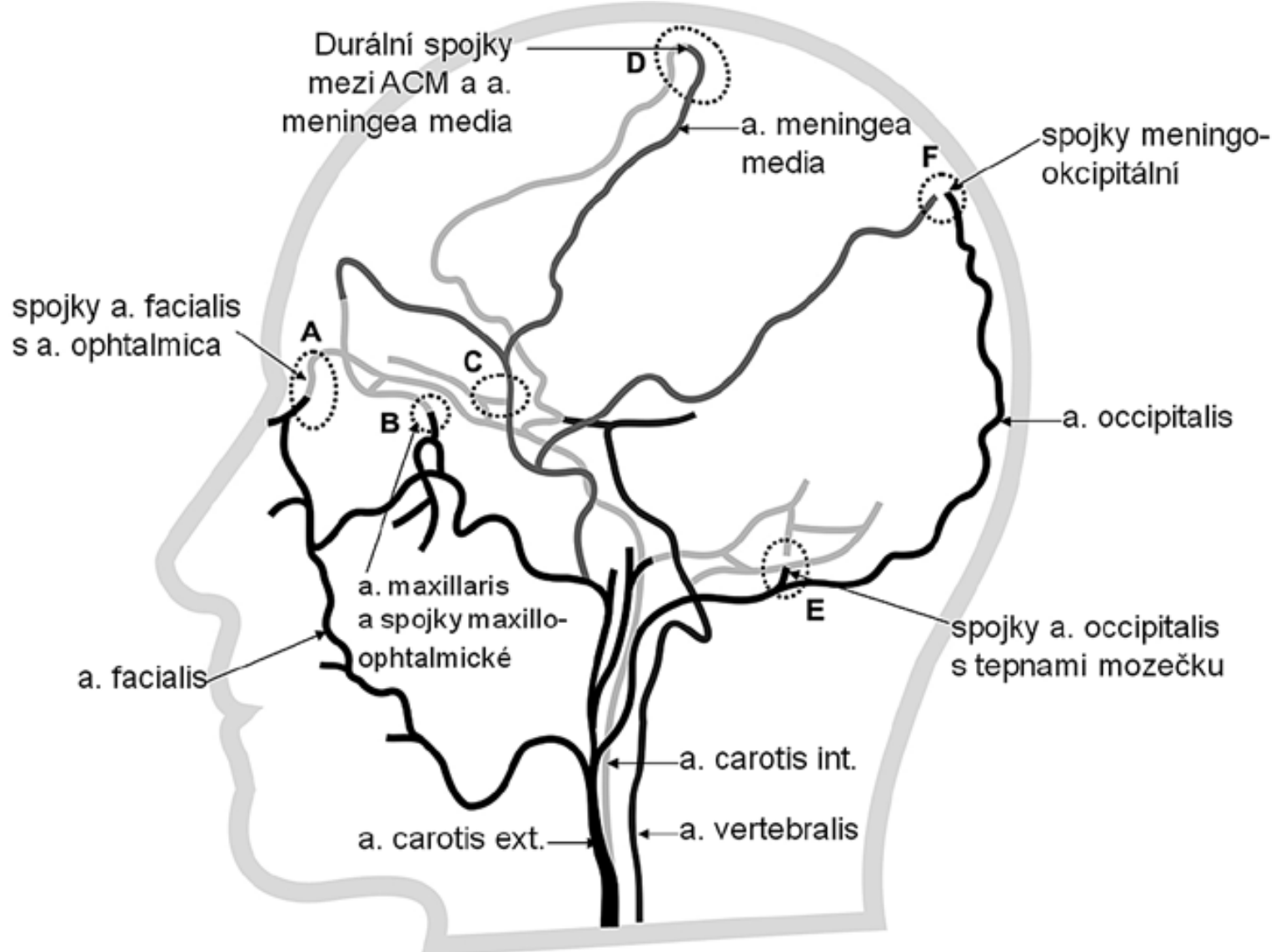


Cortical vascular territories



Cortical vascular territories

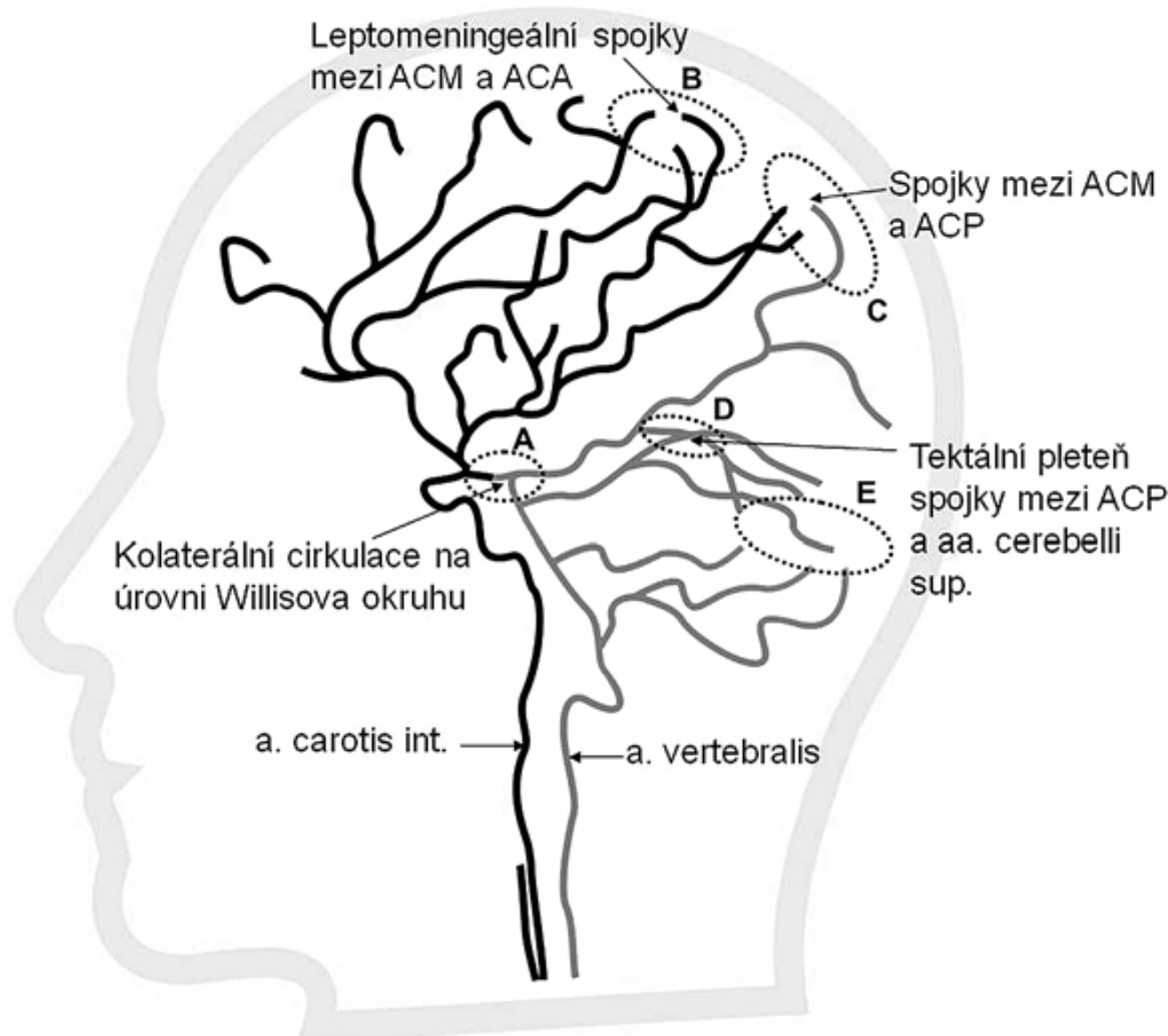




Extrakraniální systém kolaterální cirkulace

O. Volný, R. Mikulík (2013)

- 1 Mezinárodní centrum klinického výzkumu (ICRC), Brno
- 2 Anatomický ústav LF MU, Brno
- 3 I. neurologická klinika LF MU a FN u sv. Anny v Brně



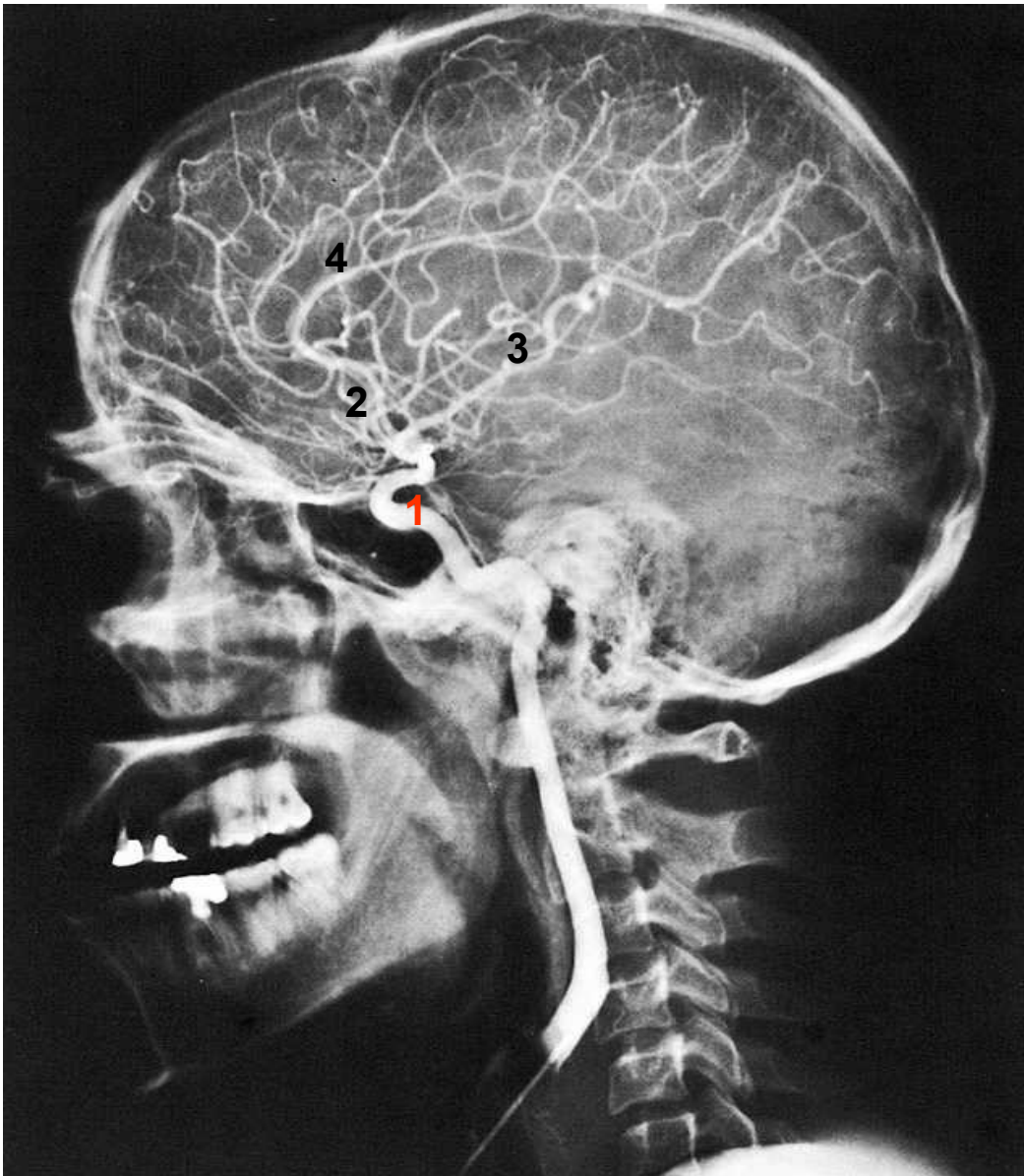
Intrakraniální systém kolaterální cirkulace

O. Volný, R. Mikulík (2013)

1 Mezinárodní centrum klinického výzkumu (ICRC), Brno
2 Anatomický ústav LF MU, Brno
3 I. neurologická klinika LF MU a FN u sv. Anny v Brně

RTG of head

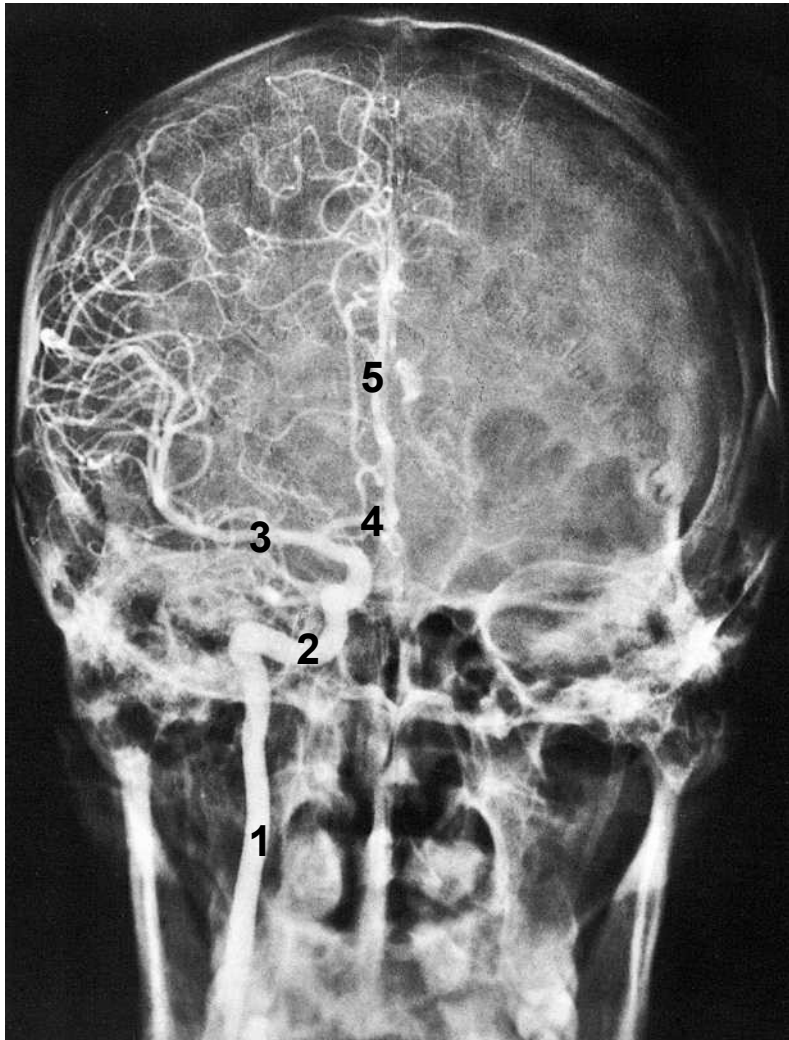
Angiography - a. carotis interna



1. siphon
2. a.cerebri anterior
3. a.cerebri media
4. a.pericallosa

RTG of head

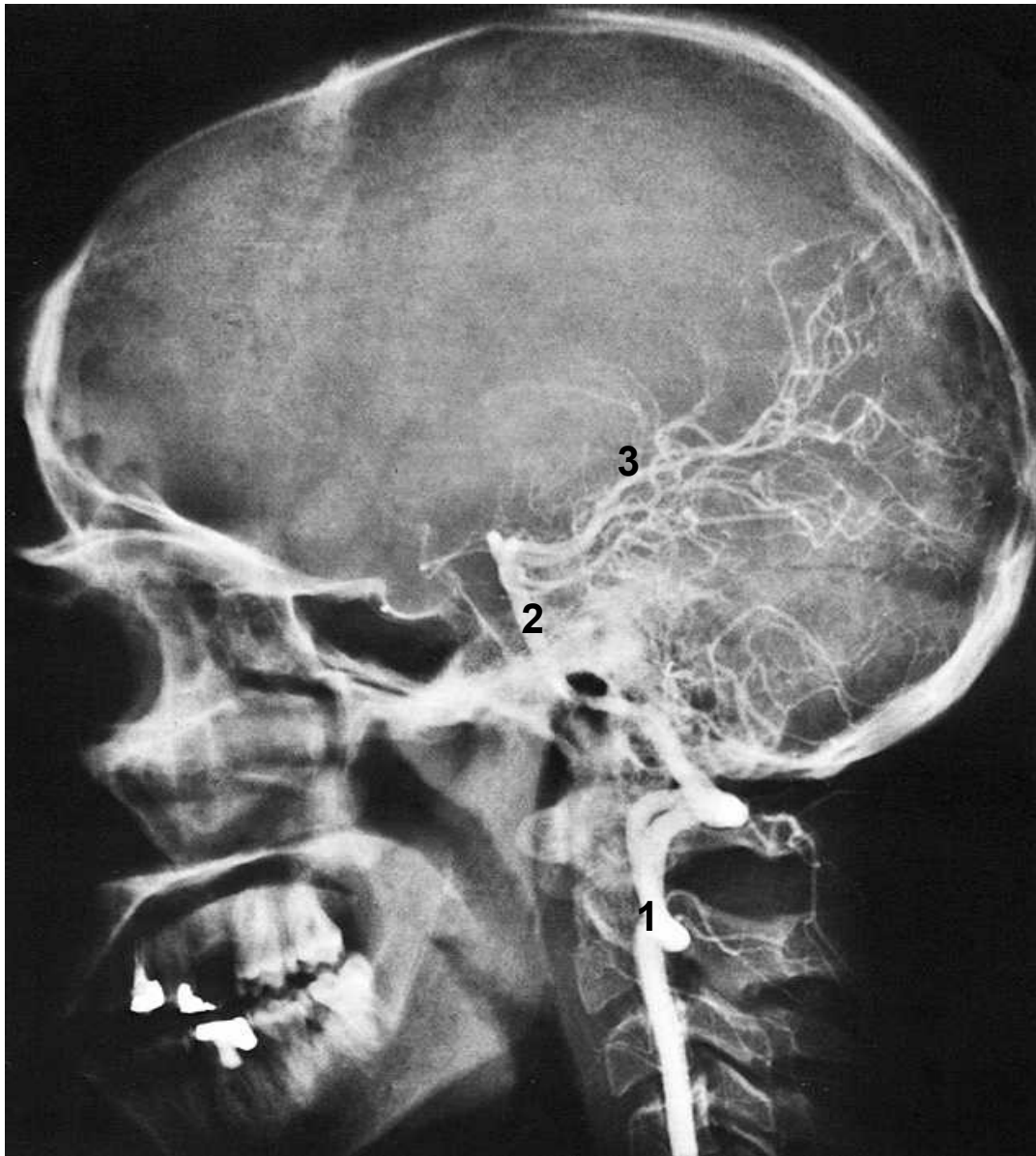
Angiography - a. carotis interna



1. a.carotis interna
2. siphon
3. a.cerebri media
4. a.cerebri anterior
5. a.pericallosa

RTG of head

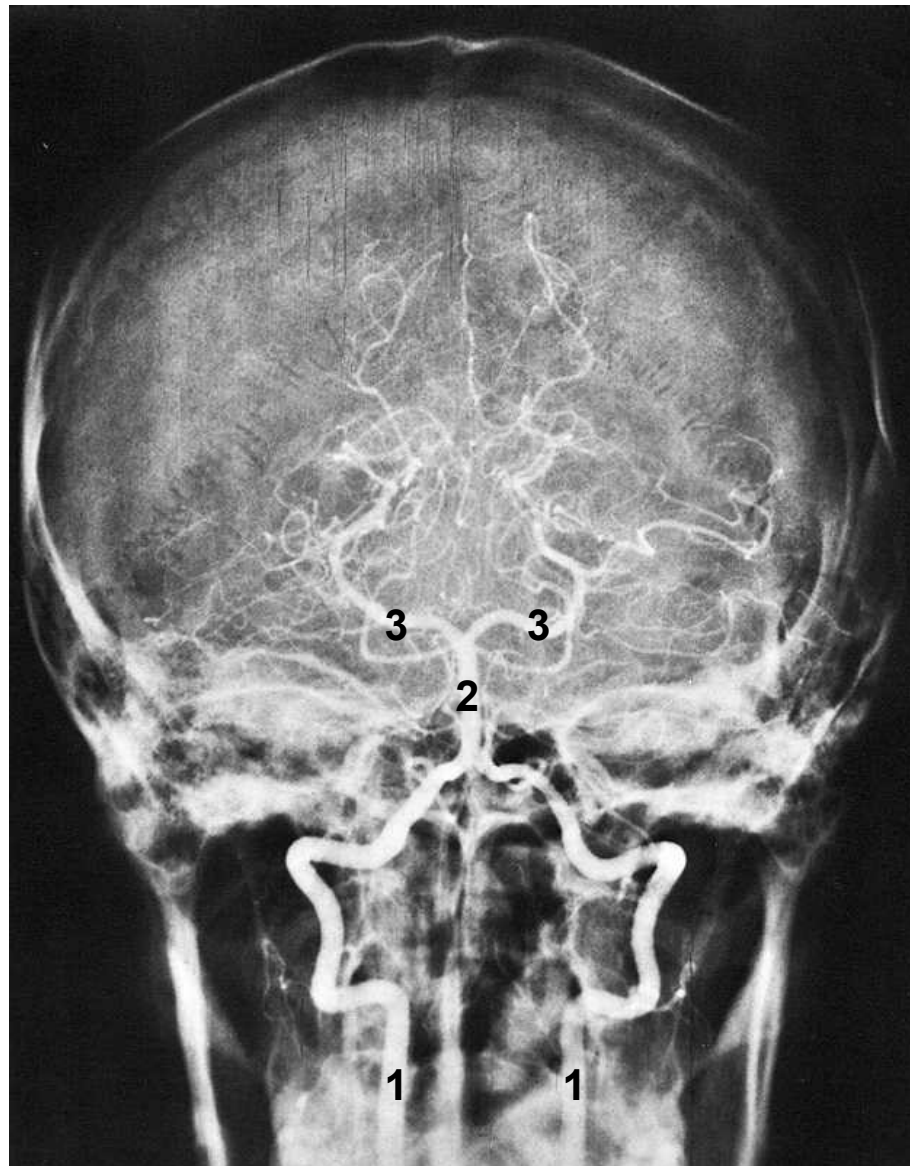
Angiography - a.vertebralis



1. A.vertebralis
2. A.basilaris
3. A.cerebri posterior

RTG of head

Angiography - a.vertebralis

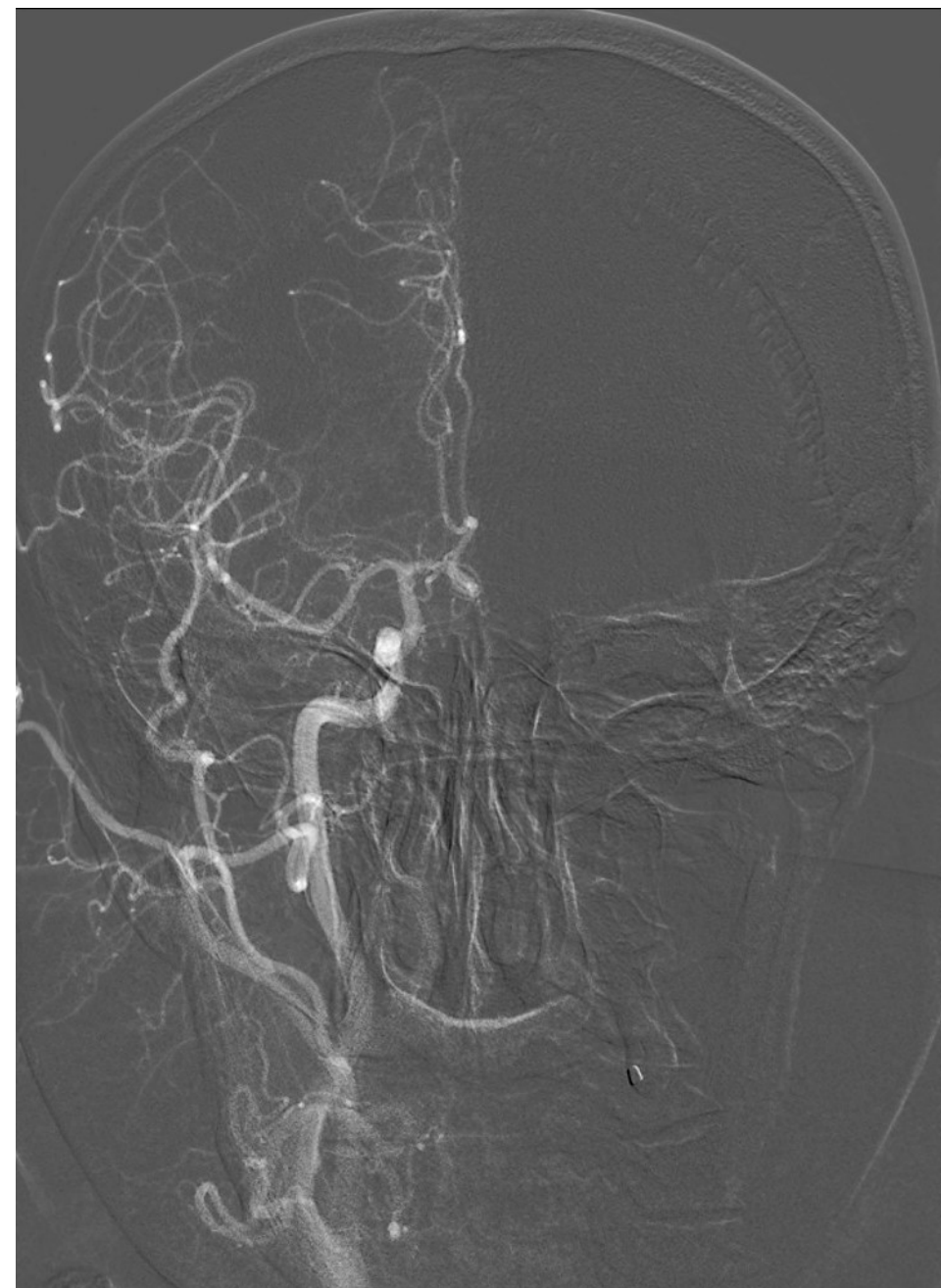
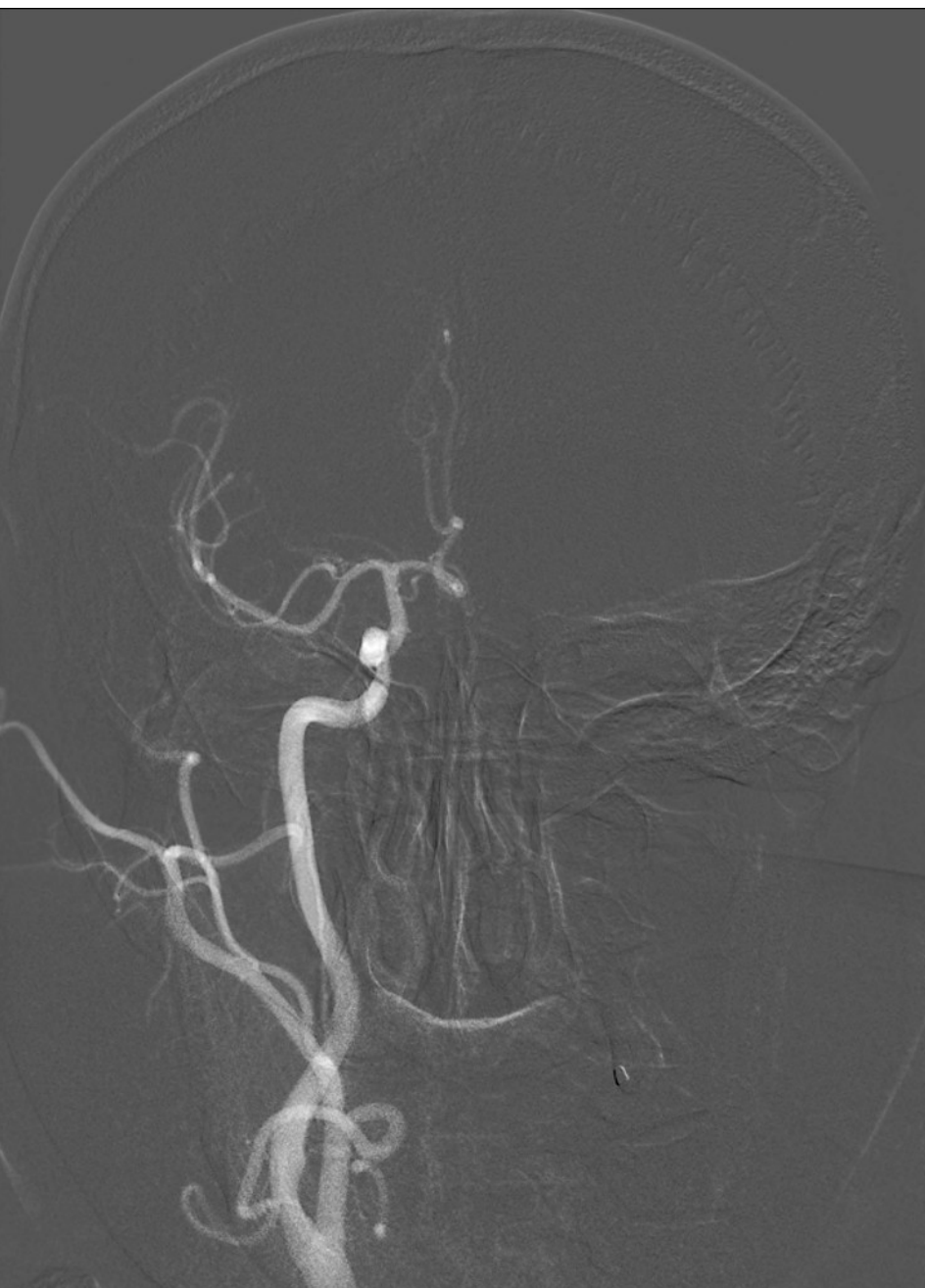


1. A.vertebralis dextra, sinistra
2. A.basilaris
3. Aa.cerebri posteriores

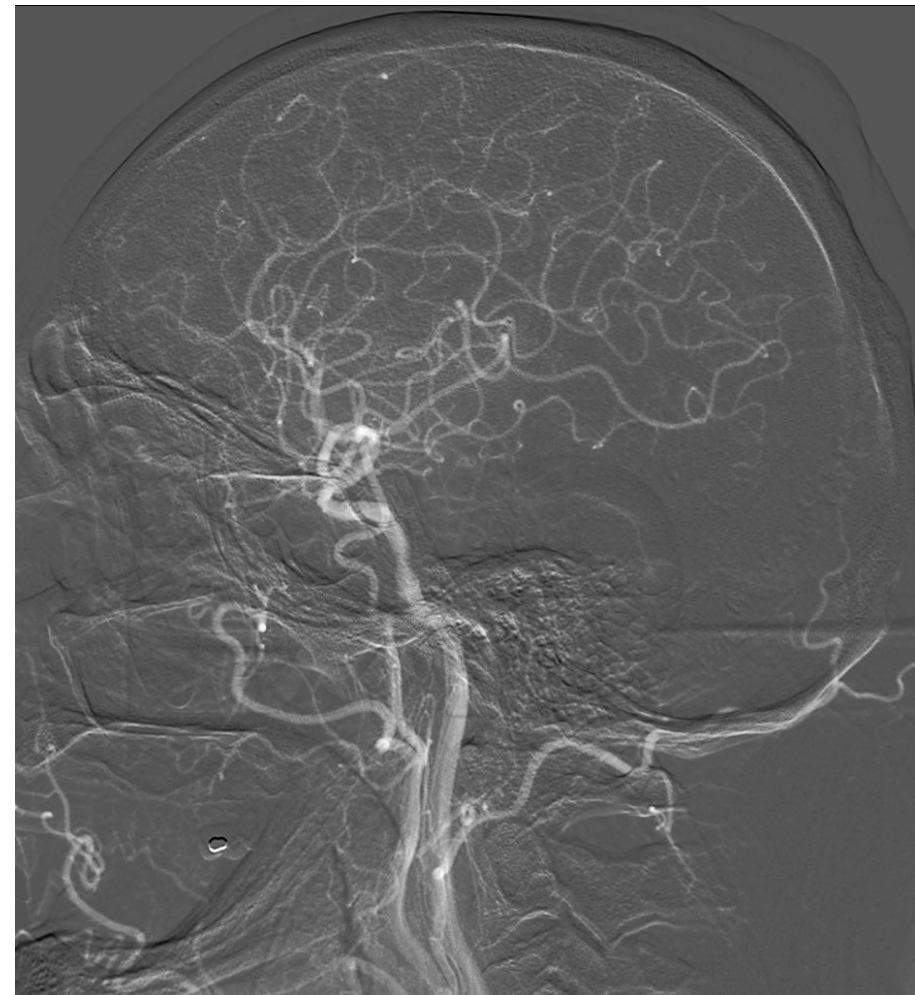
CT angiography (CTA)



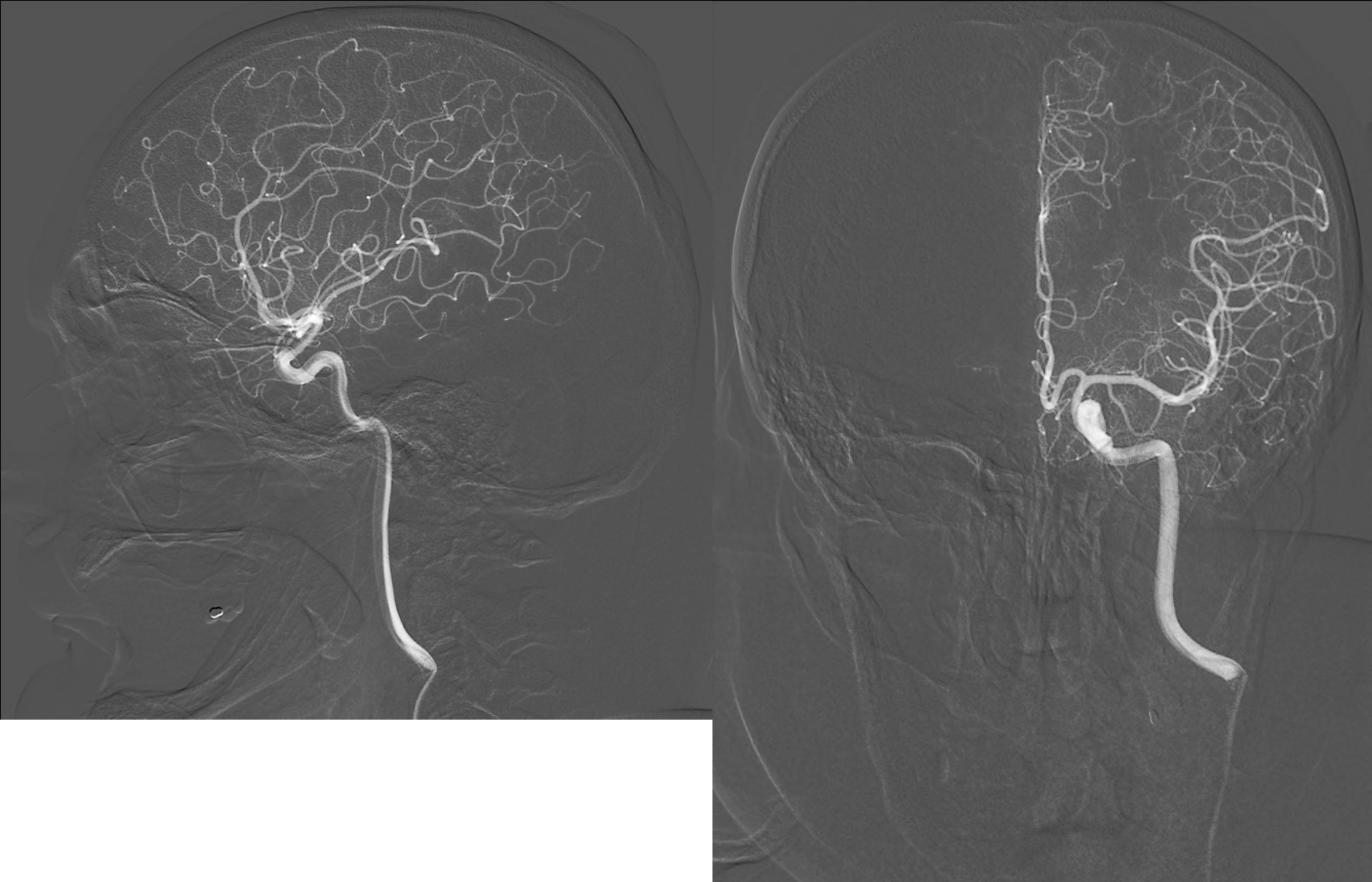
SONOGRAPHY – injection of opaque substance into a. carotis interna



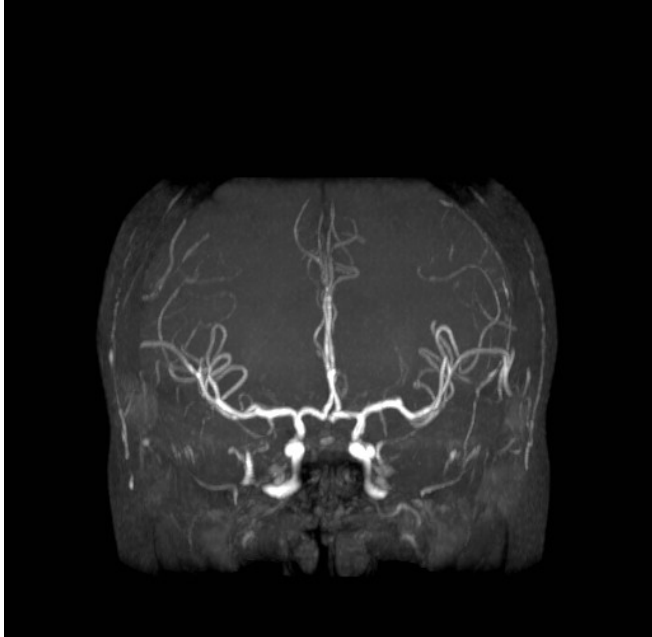
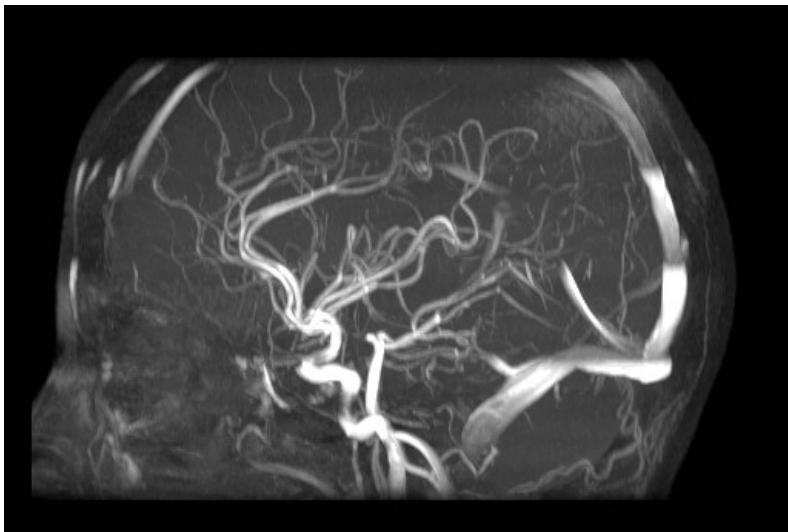
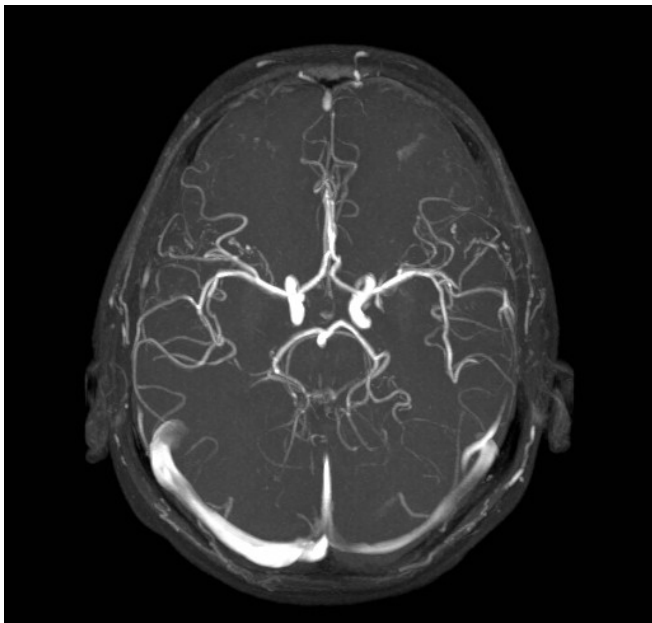
SONOGRAPHY – injection of opaque substance into a. carotis interna



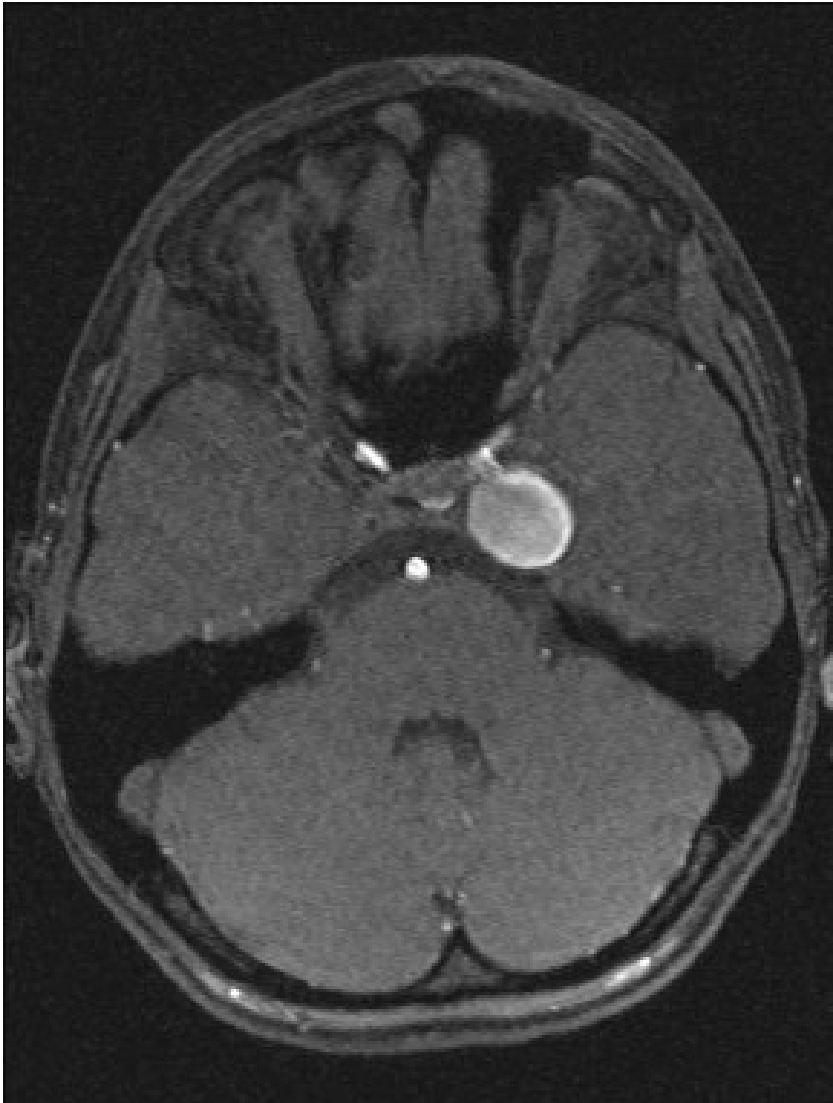
SONOGRAPHY – injection of opaque substance into a. carotis interna



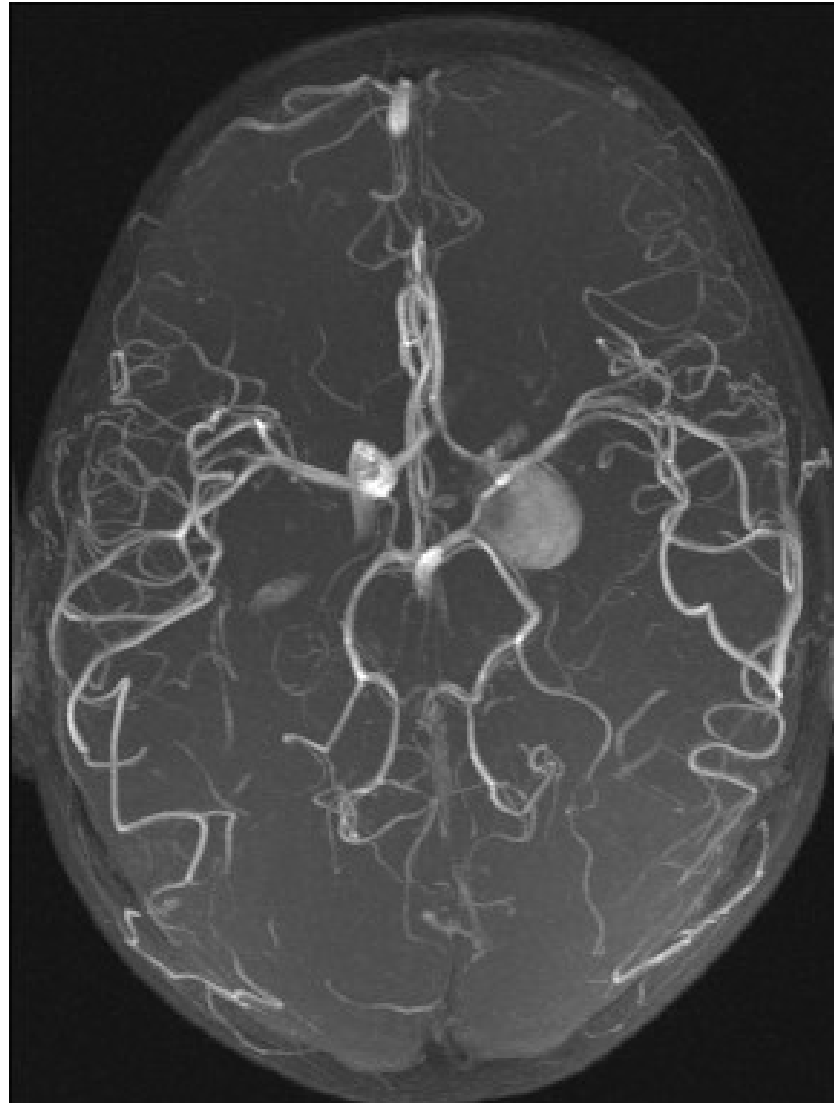
MR angiography (MRA)



Aneurizma

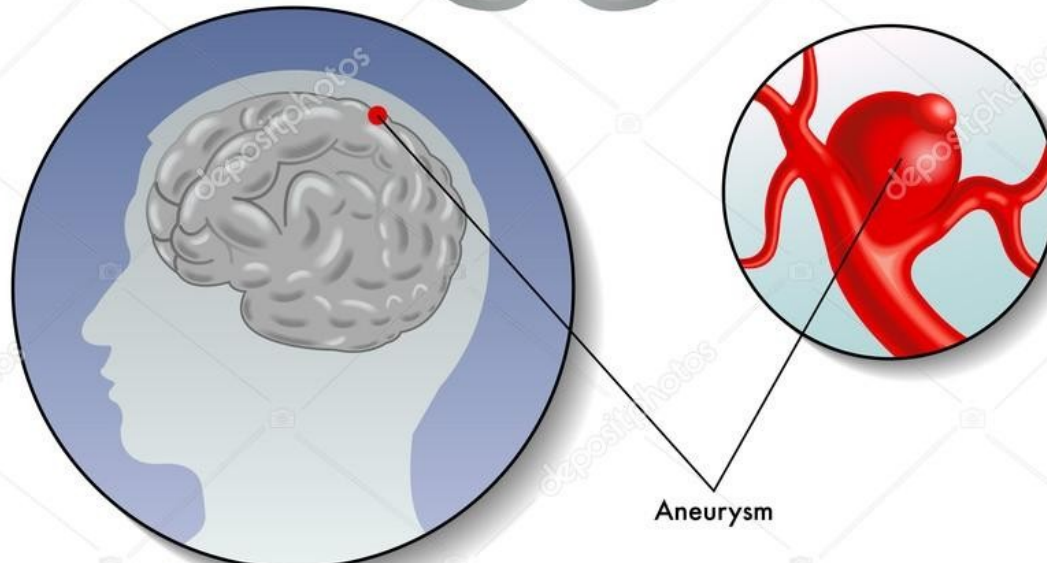
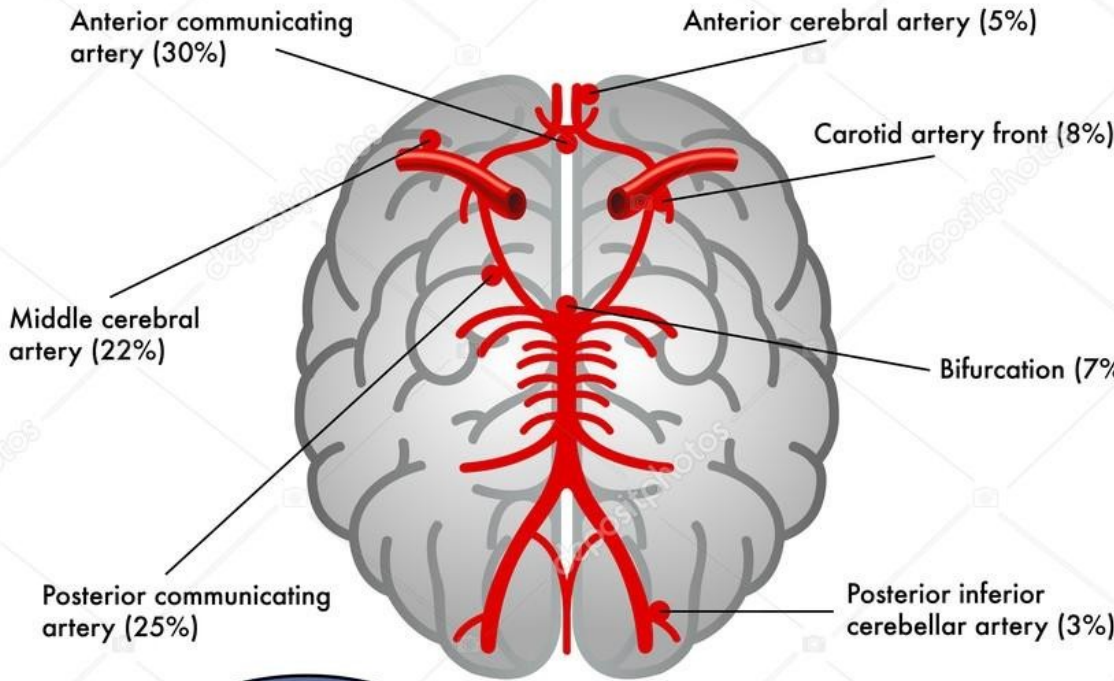


MR angiography (MRA)

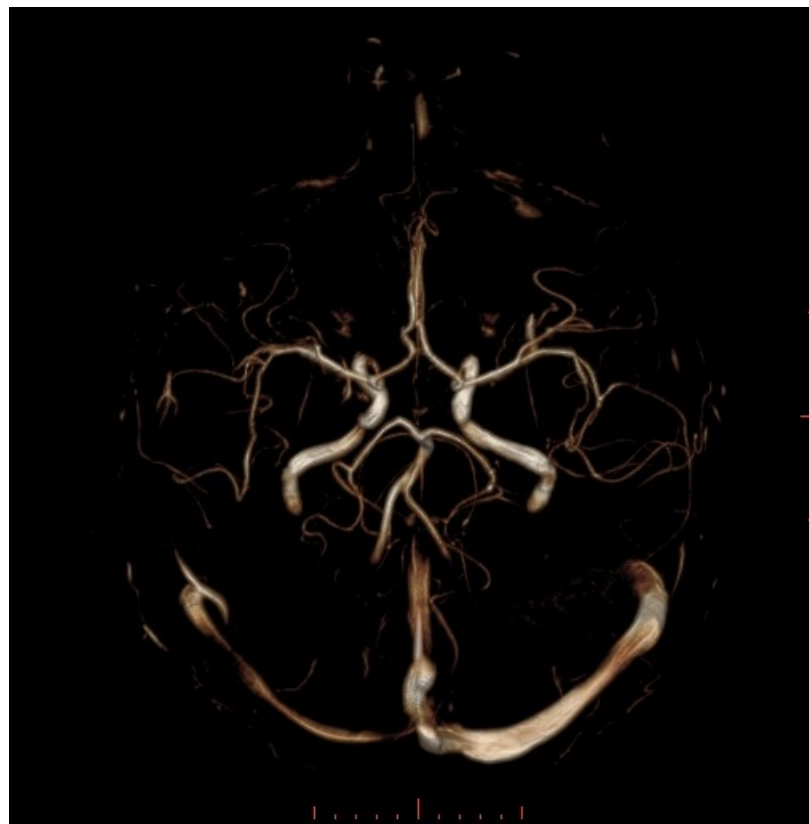
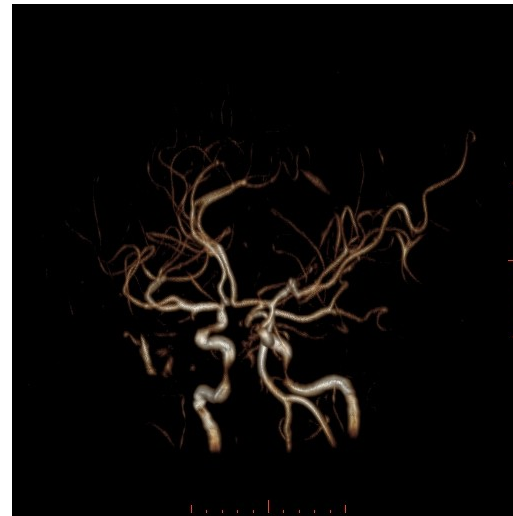
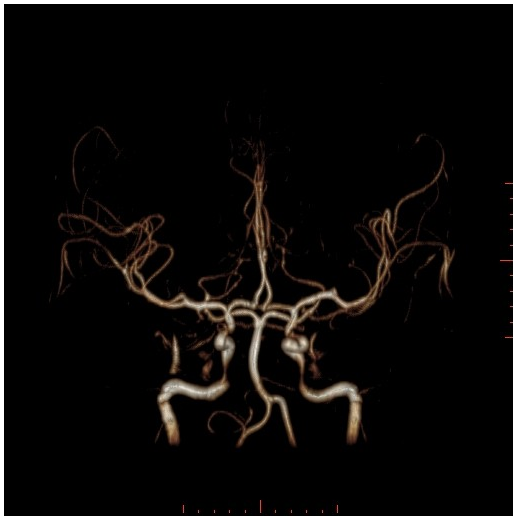


CT angiography (CTA)

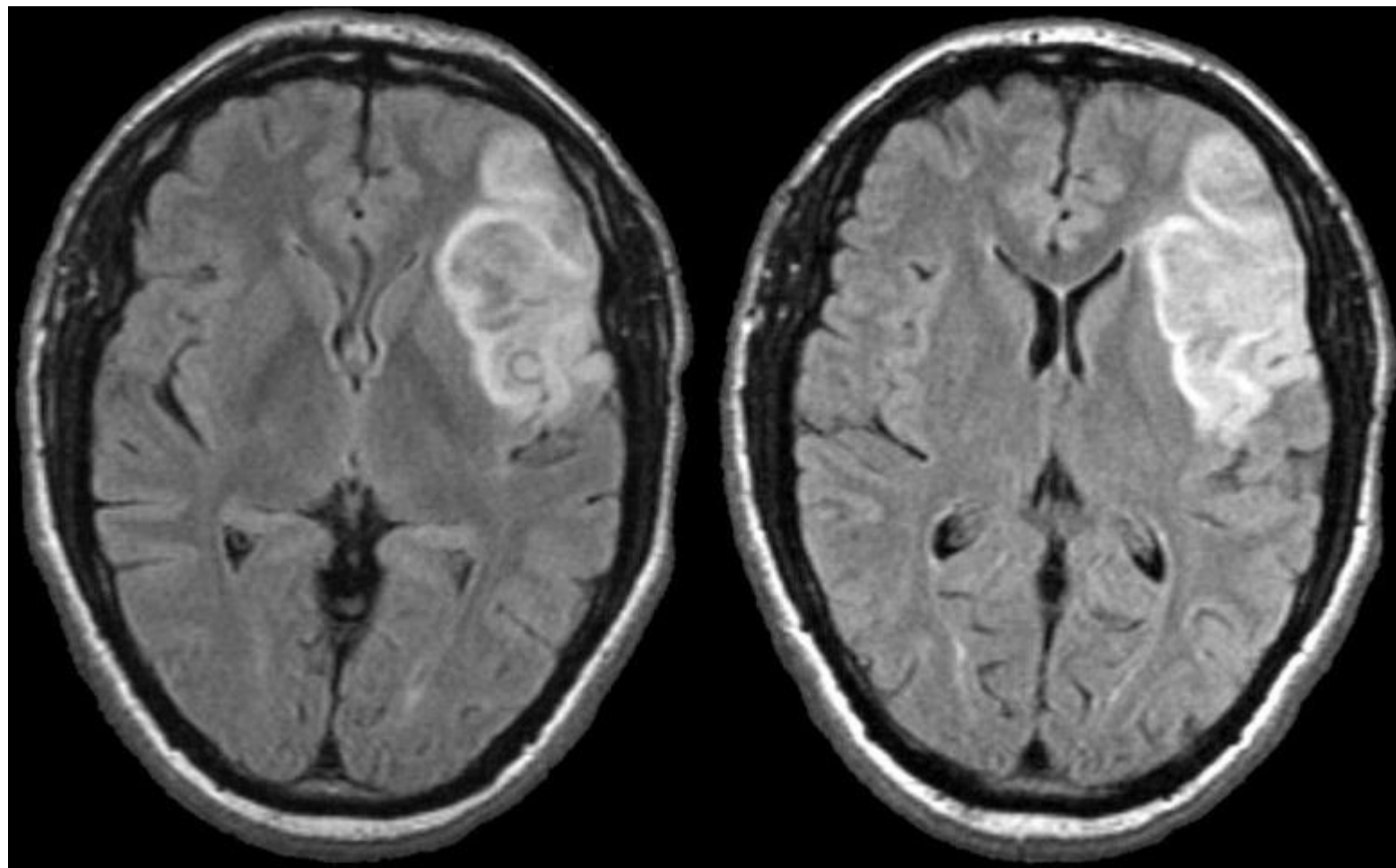
Most common sites of Cerebral Aneurysm



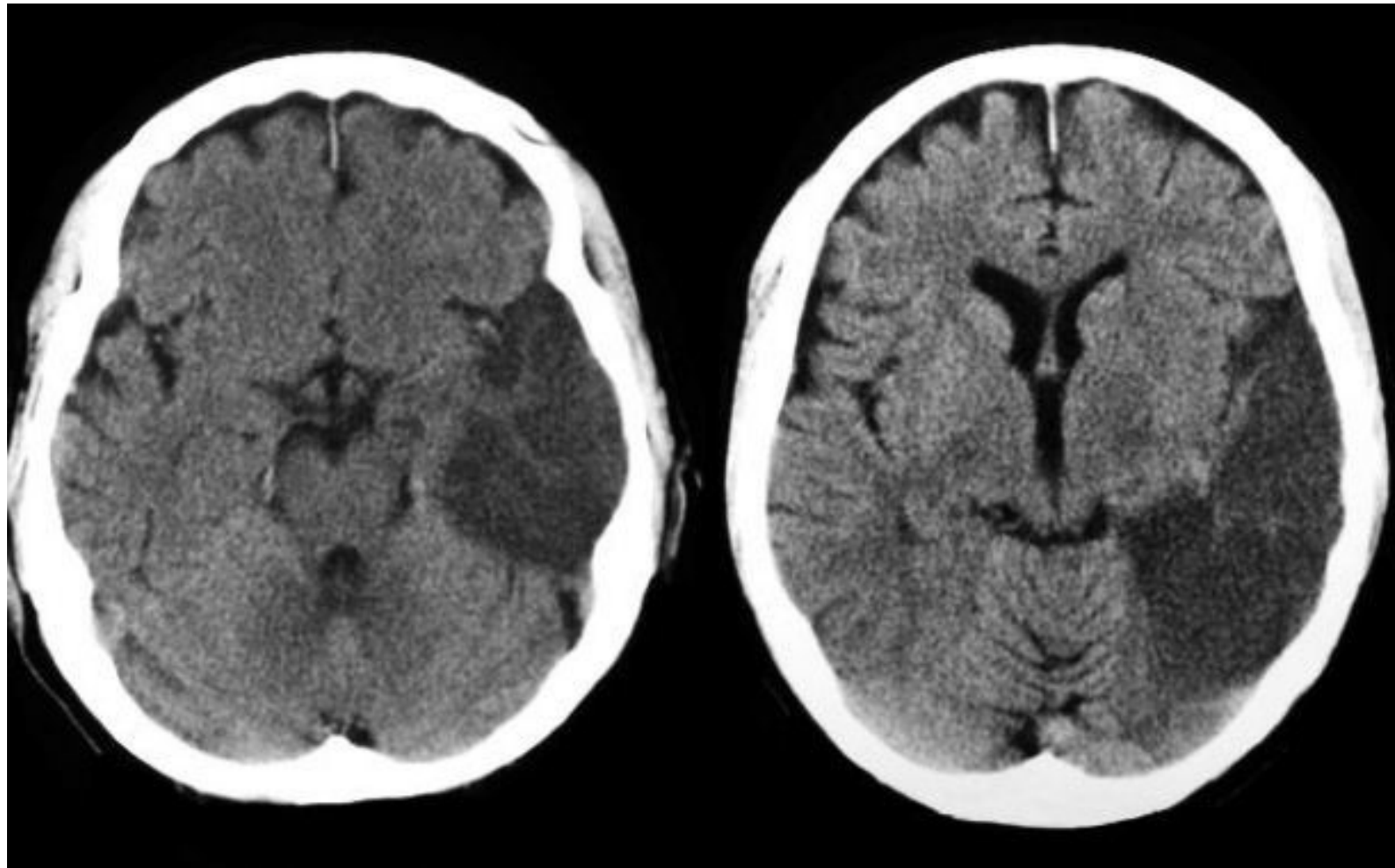
MRA - 3D reconstruction



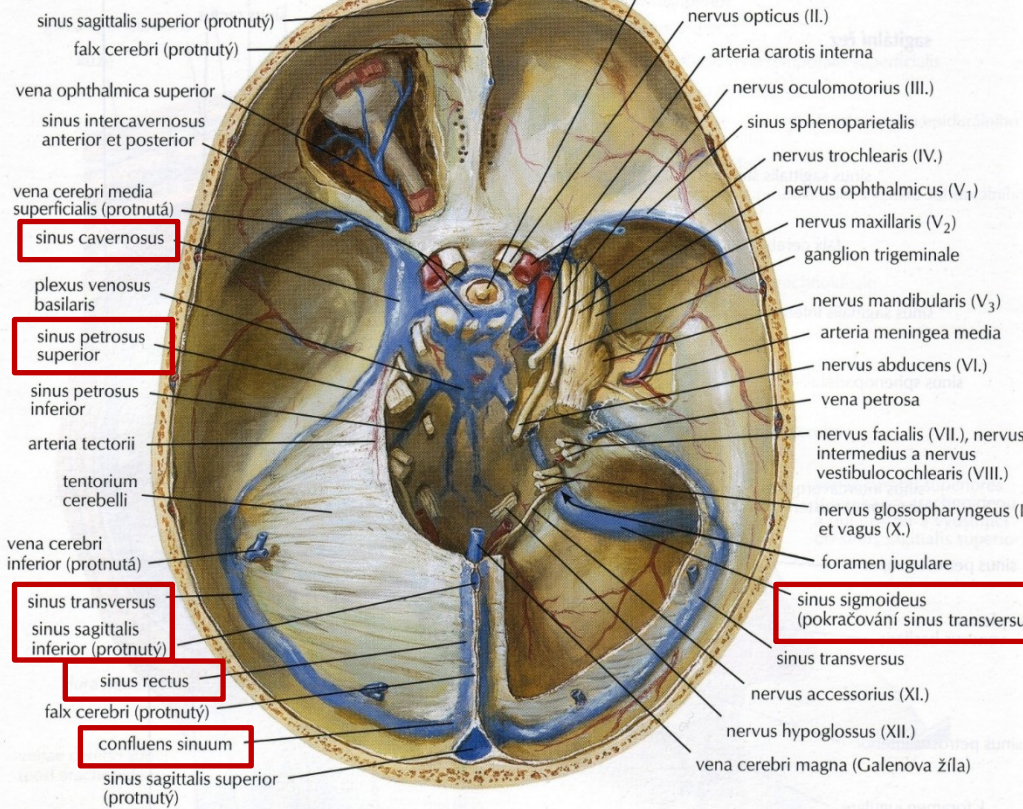
MRI axial FLAIR images of brain show an infarct involving left frontal lobe



CT study of brain shows an infarct involving the left temporal lobe

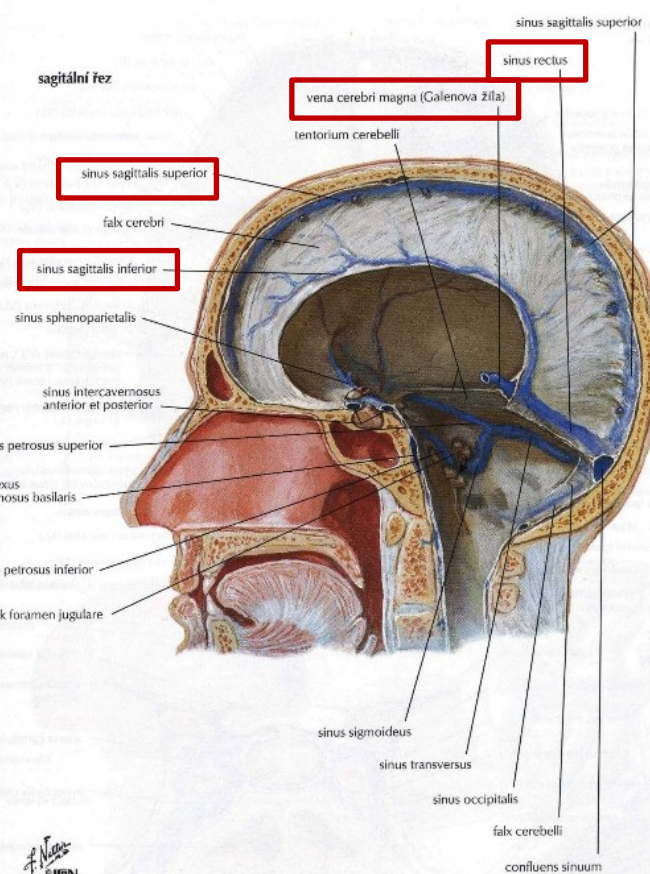
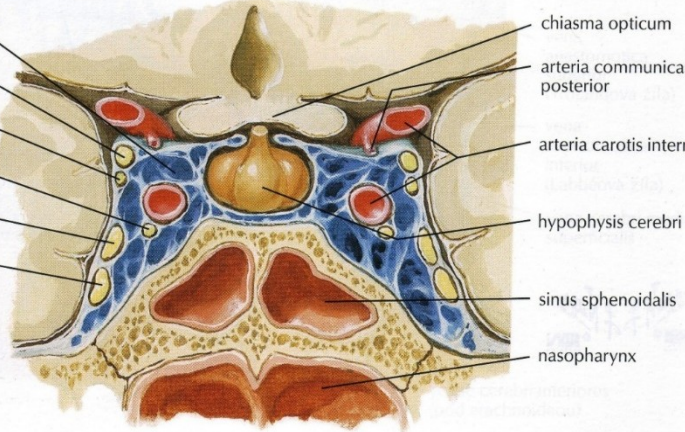


**horizontální řez lebkou:
pohled shora**



F. Netter
© ION

frontální řez přes sinus cavernosus



Cavernous Sinus

Coronal Section

